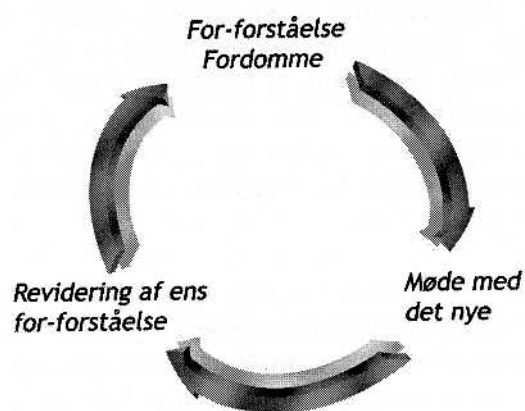


**Figurer**

Natur > < Kultur  
Ting > < Menneske  
Data > < Tolkning  
Objektiv > < Subjektiv

*Fig. 1: Illustration af den positivtiske tilgang til data*



*Fig. 2: Illustration af den hermeneutiske cirkel*

<b>Anvendte dateringskoder i Fund og Fortidsminder</b>		
<i>Kode</i>	<i>Beskrivelse</i>	<i>Årstal</i>
CYGO	Overgangen GJ-VIK	650-850
CYGV	Y.GJ eller VIK	600-1050
CYGY	Y.GJ	600-750
CYVÆ	Æ.VIK	750-900
CYVD	VIK eller Æ.MID	750-1300
CYVO	Overgangen VIK-Æ.MID	950-1100
CYVX	VIK	750-1050
CYVY	Y.VIK	900-1050
CYXX	Y.JA	400-1050
DÆX1	MID	1000-1100

<b>Anvendte anlægskoder i Fund og Fortidsminder</b>		
<i>Kode</i>	<i>Overordnet kategori</i>	<i>Underordnet kategori</i>
03000	Boplads	-
03024	Boplads	Brolægning
03030	Boplads	Bygning
03081	Boplads	Hegn
03091	Boplads	Hustomt
04000	Landsby	-
04024	Landsby	Brolægning
04030	Landsby	Bygning
04073	Landsby	Gærde
04074	Landsby	Gård
04075	Landsby	Gårdtomt
04081	Landsby	Hegn
04089	Landsby	Hus
04091	Landsby	Hustomt
05000	By	-
05024	By	Brolægning
05030	By	Bygning
05074	By	Gård
05075	By	Gårdtomt
05081	By	Hegn
05089	By	Hus
05091	By	Hustomt
07030	Anlæg	Bygning

<b>Anvendte søgekriterier i Fornsök</b>	
<i>Kategori</i>	Bebyggelseslämningar, Boplatser och visten
<i>Fritext</i>	Vendeltid, vikingatid

Fig. 3: Oversigt over søgekriterier anvendt i Fund og Fortidsminder og i Fornsök

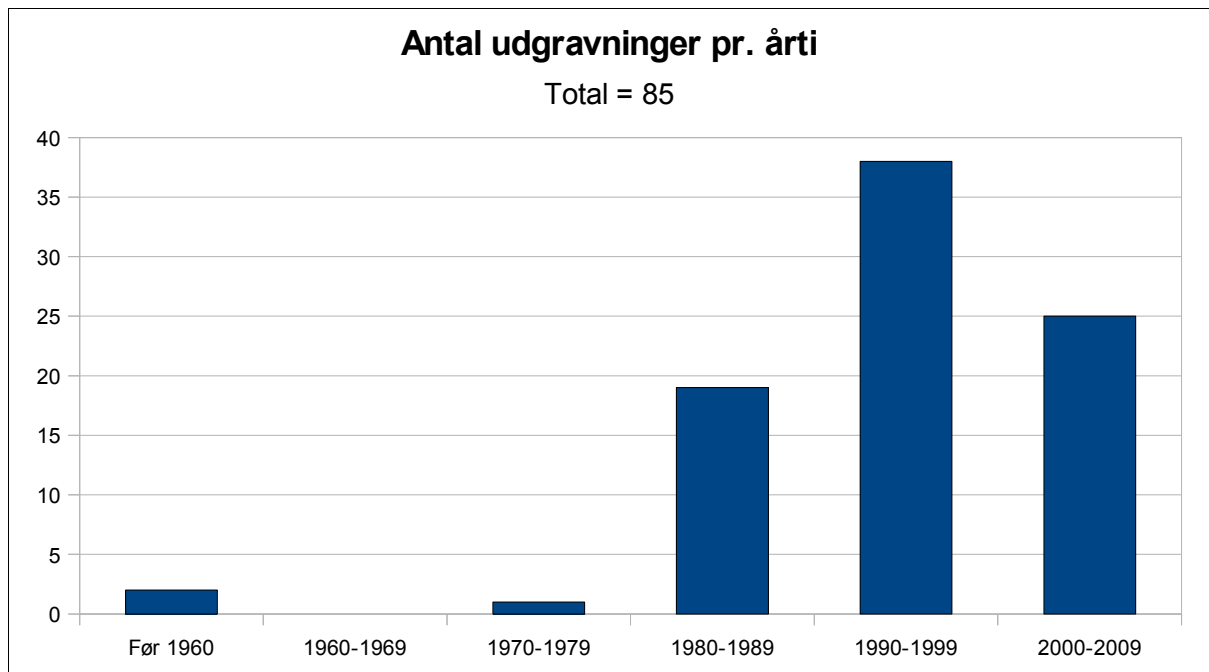


Fig. 4: Diagram over antal udgravninger pr. årti

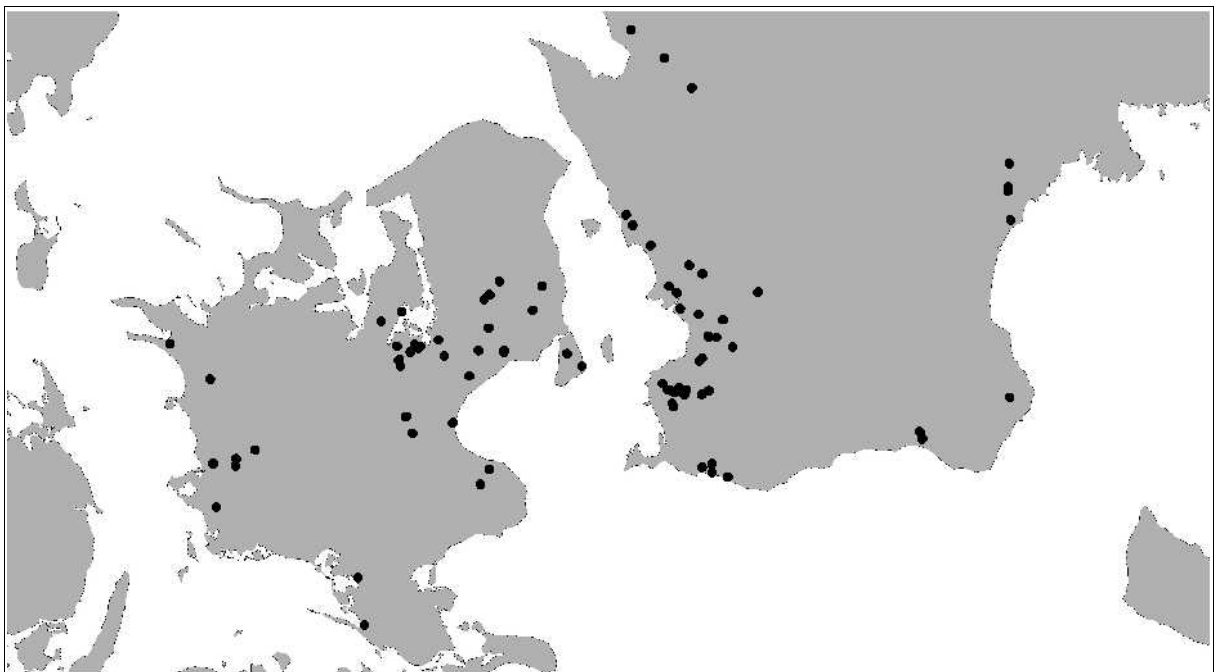


Fig. 5: Kort over lokaliteternes udbredelse



Fig. 6: Kort over bebyggede områder i yngre jernalder (efter Callmer 1991)

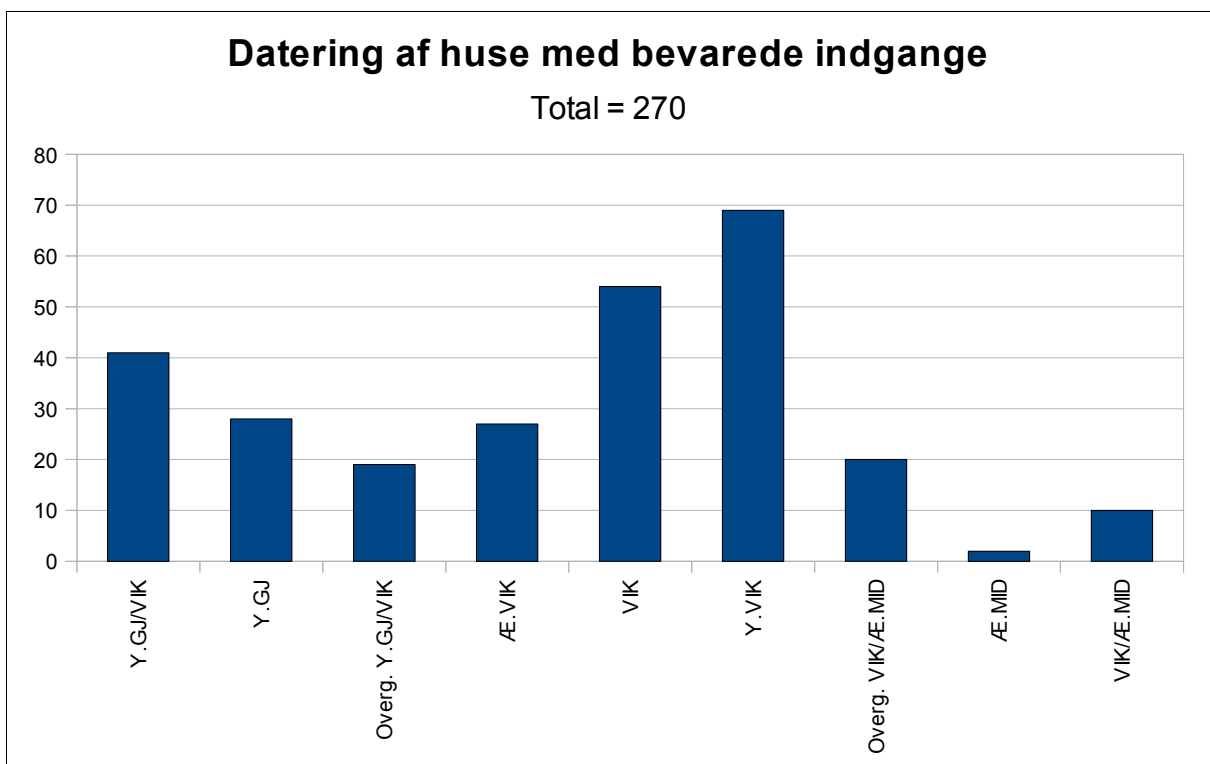


Fig. 7: Diagram over fordelingen af dateringer i det indsamlede materiale

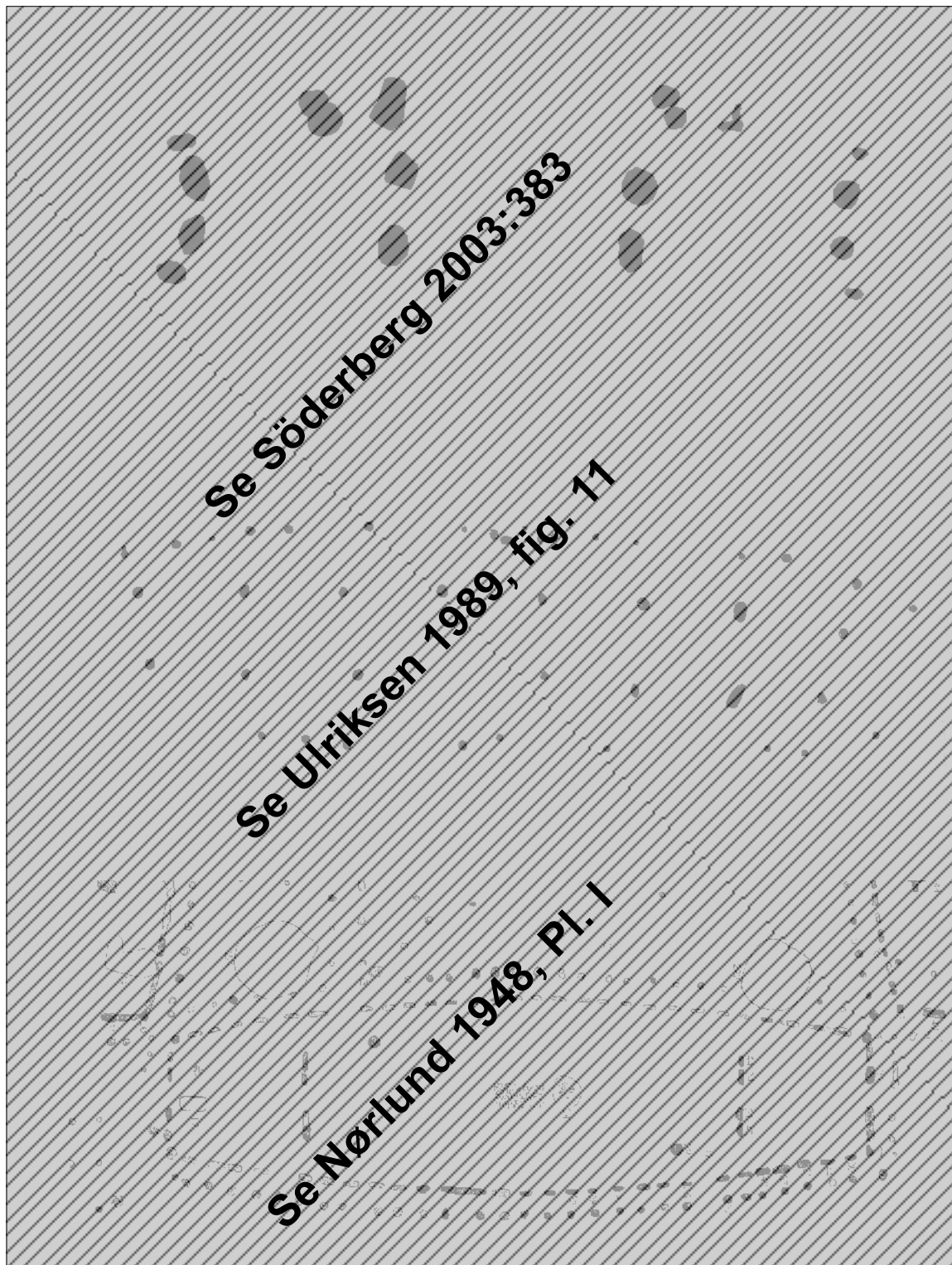
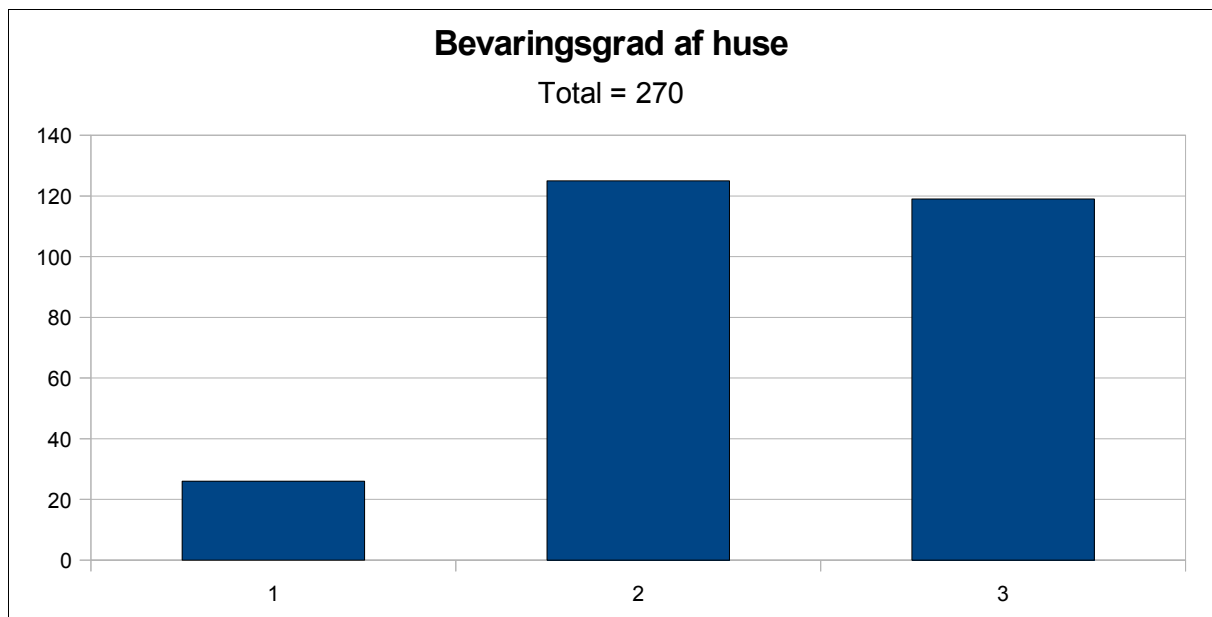


Fig. 8: Eksempler på de tre bevaringstilstande.

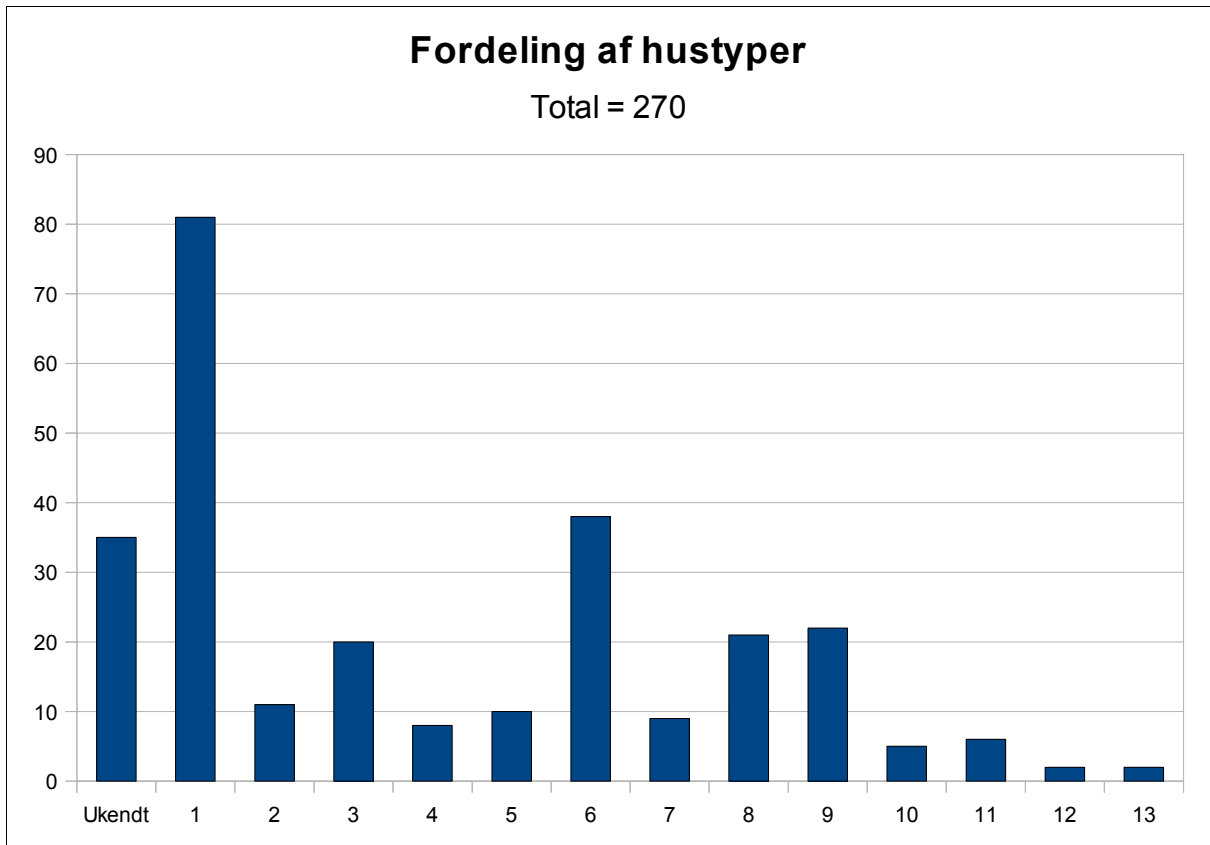
Øverst: Järrestad Hus 1 (efter Söderberg 2003) (1291-1073-45-1) = bevaringstilstand 1.  
Midten: Lynghøjskolen Hus 7 (efter Ulriksen 1989) (020413-14-7) = bevaringstilstand 2.  
Nederst: Trelleborg Hus 1Ø (efter Nørlund 1948) (040304-8-1Ø) = bevaringstilstand 3



*Fig. 9: Diagram over bevaringsgrad af huse i det indsamlede materiale.  
1: dårligt bevaret, 2: delvist bevaret, 3: velbevaret*

(fig.10 - se separat figur)





*Fig. 11: Diagram over fordelingen af hustyper i det indsamlede materiale*

Huse u halrum (type 1, 3, 9, 10, 11)	134
Huse m halrum af Trelleborgtype (type 6, 7, 12)	49
Huse m halrum (type 2, 4, 5)	29
Huse m et stort rum (type 8, 13)	23
<hr/>	
Huse u støttestolper (type 1, 5, 7, 8, 9, 10, 13)	150
Huse m støttestolper (type 2, 3, 4, 6, 11, 12)	85
<hr/>	
Jernaldertyper (type 1, 9)	103
Trelleborgtyper (type 2, 3, 4, 5, 6, 7, 11, 12)	104
Middelaldertyper (type 8, 10, 13)	28

*Fig. 12: Tabel over grupperinger af hustyper i forhold til kriterierne tagbærende konstruktion, støttestolper og overordnet indtryk*

(fig. 13 - se separat figur)

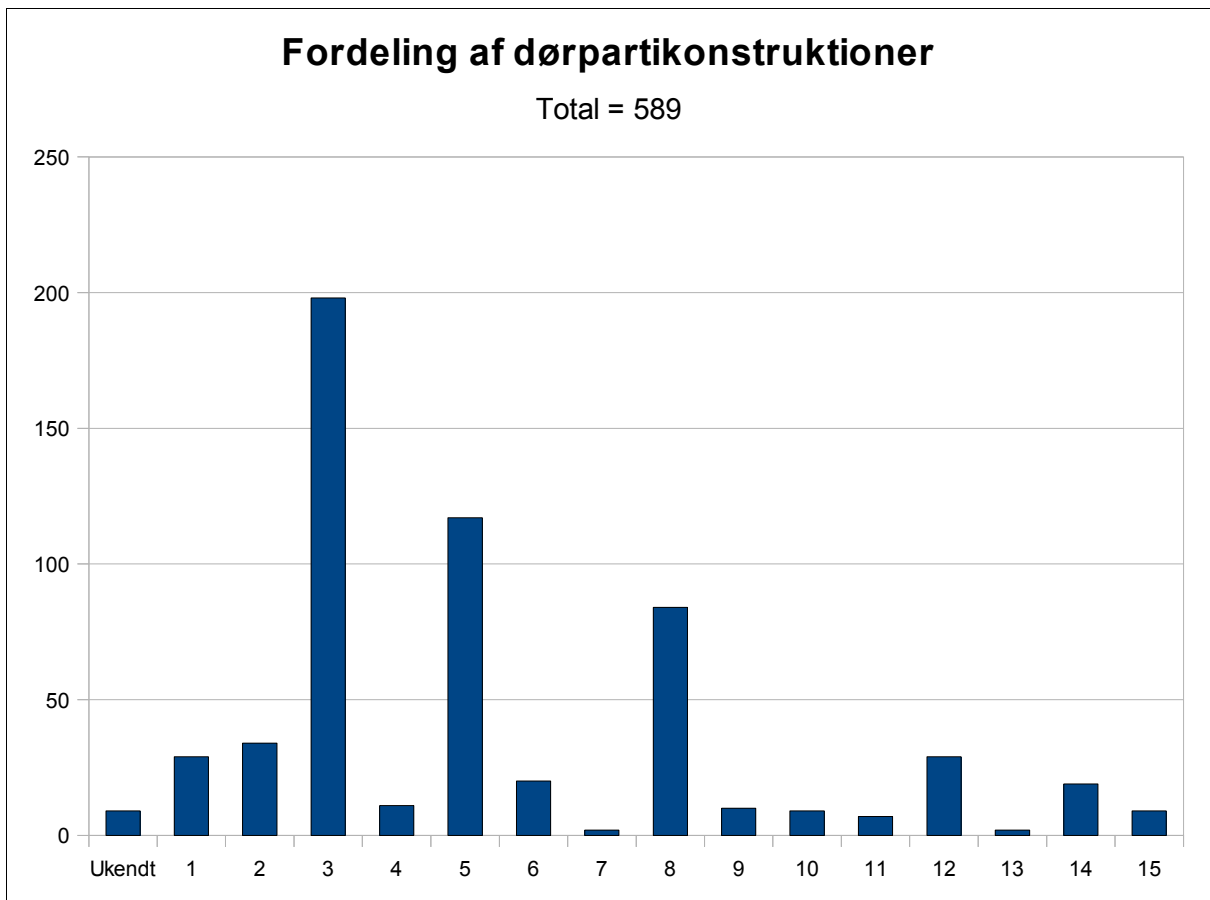
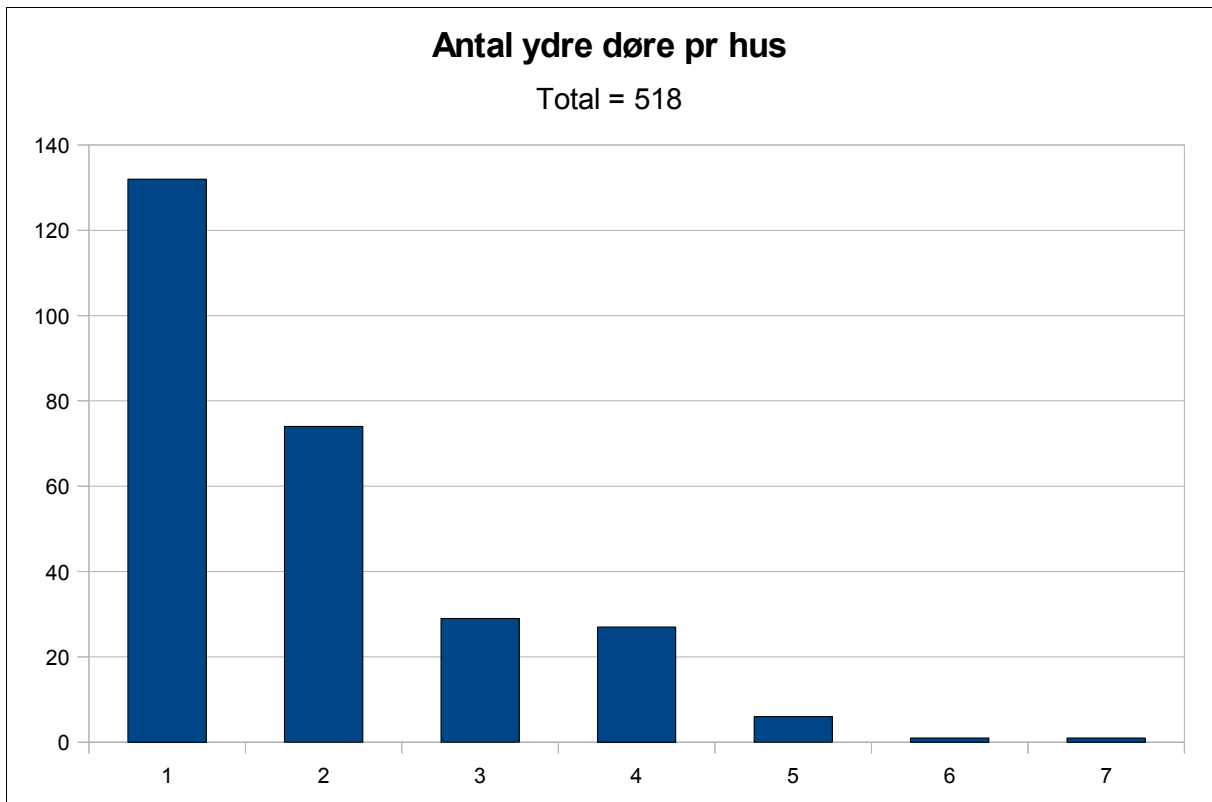


Fig.14: Diagram over fordelingen af dørpartikonstruktioner i det indsamlede materiale

Dørparti uden yderligere markering		281
	Heraf:	
	Alene dørstolper (type 1, 2, 3, 4)	272
	Åben gavl (type 15)	9
Dørparti med yderligere markering		299
	Heraf:	
	Kun ydre (type 5, 6, 7, 14)	158
	Kun ydre, trukket ind (type 8, 9, 10)	103
	Kun indre (type 13)	2
	Både indre og ydre (type 11, 12)	36
Hverken indre eller ydre (type 1-4, 15)		281
Med yderligere markering (type 5-14)		299

Fig. 15: Tabel over grupperinger inden for typer af dørpartikonstruktioner



*Fig. 16: Diagram over fordelingen af antal døre pr. hus i det indsamlede materiale*

(fig. 17 - se separat figur)

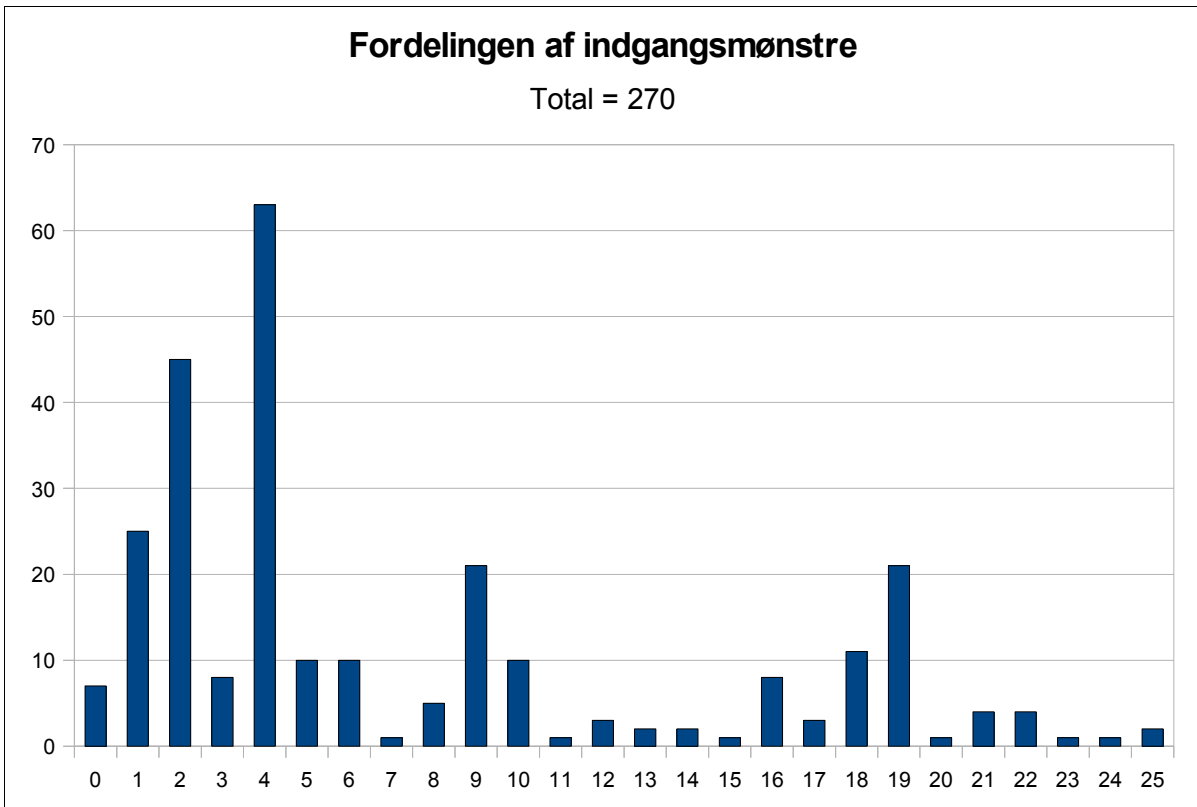
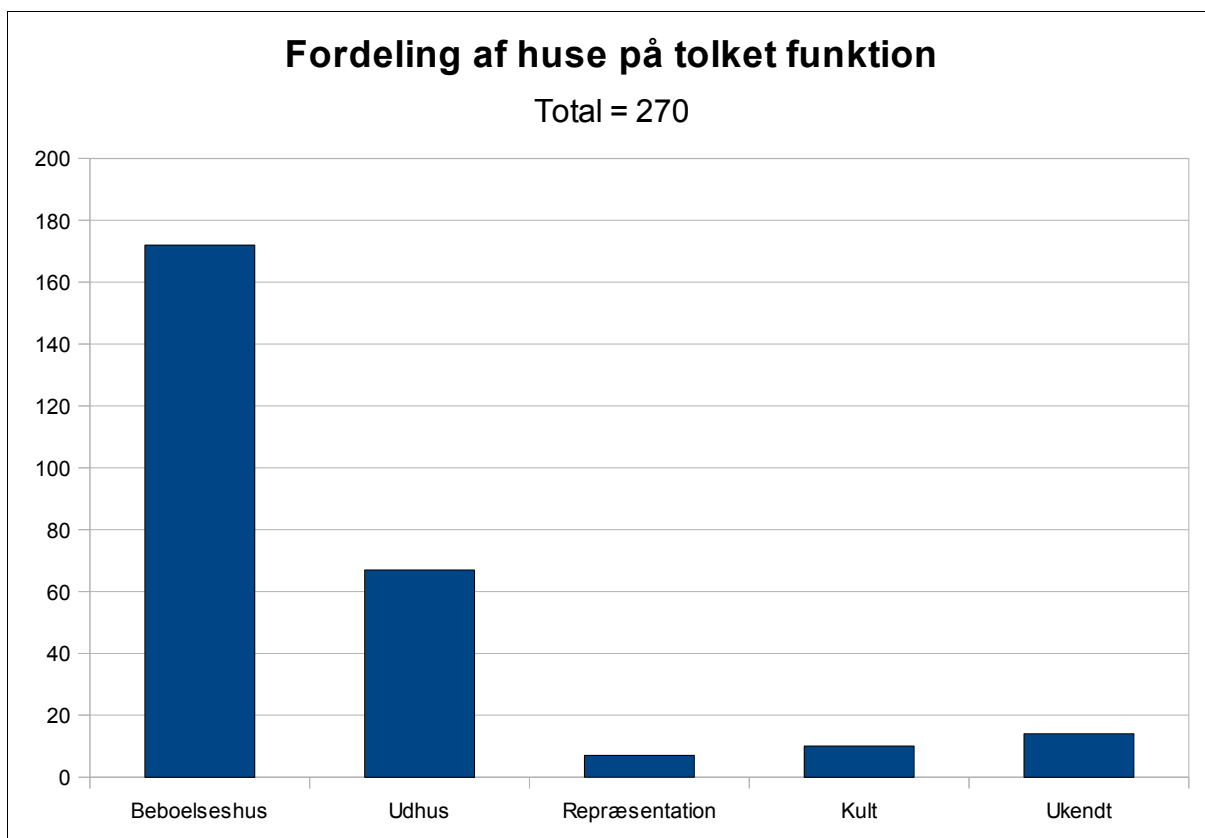


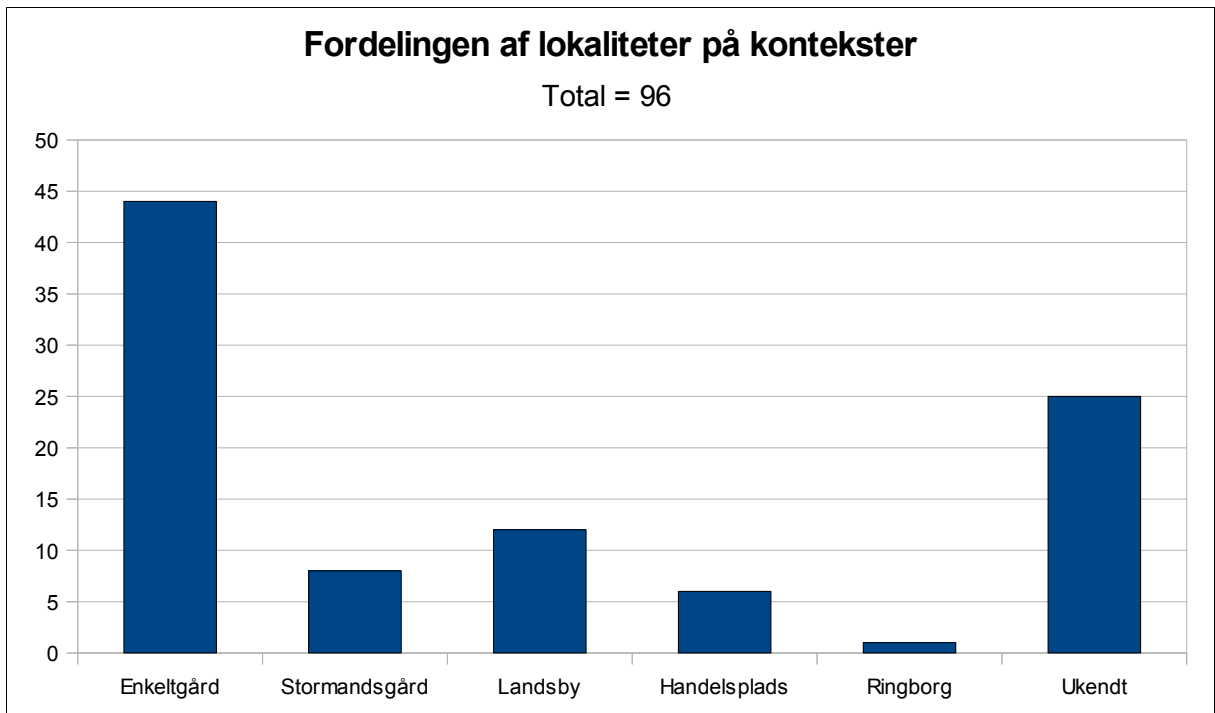
Fig. 18: Diagram over fordelingen af indgangsmønstre i det indsamlede materiale

Endeorienterede indgangsmønstre (mønster 1, 2, 3, 8, 9, 10, 11, 16, 17 og 18)	125
Midterorienterede indgangsmønstre (mønster 4 og 9)	67
Kombinerede indgangsmønstre (mønster 5, 6, 7, 12, 13, 14, 15, 20, 21, 22, 23, 24 og 25)	40

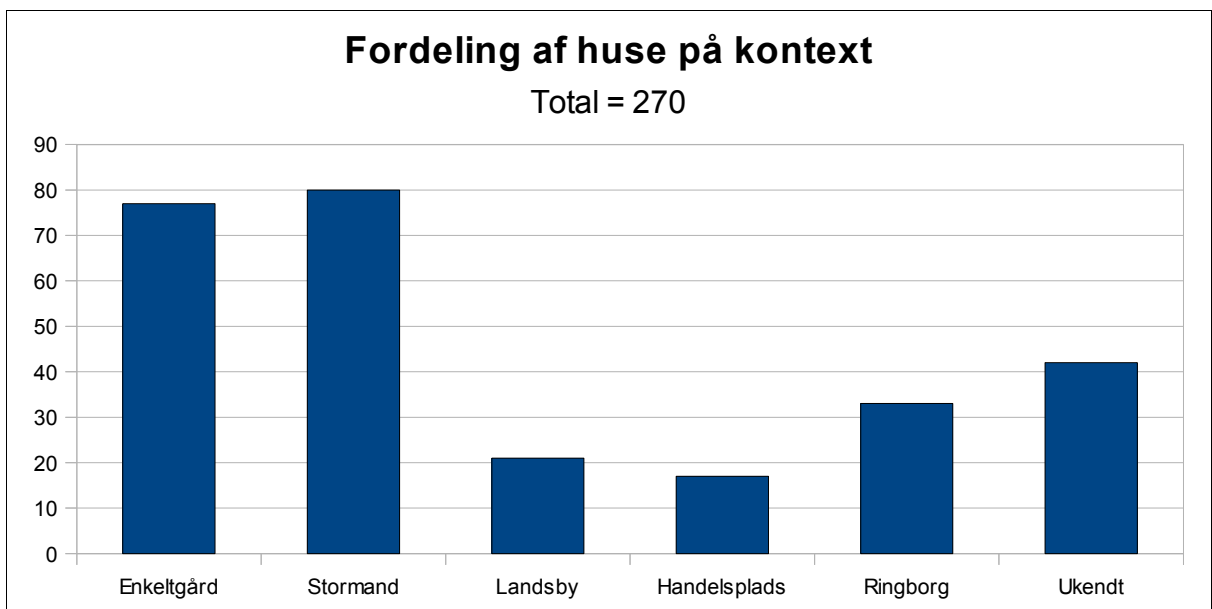
Fig. 19: Tabel over grupperinger af indgangsmønstre efter orientering



*Fig. 20: Diagram over fordelingen af huse på tolket funktion*



*Fig. 21: Diagram over fordelingen af lokaliteter på kontekster. Det totale antal er højere end antallet af lokaliteter, da nogle lokaliteter kan have forskellig kontekst knyttet til forskellige faser*



*Fig. 22: Diagram over fordelingen af huse på kontekster*



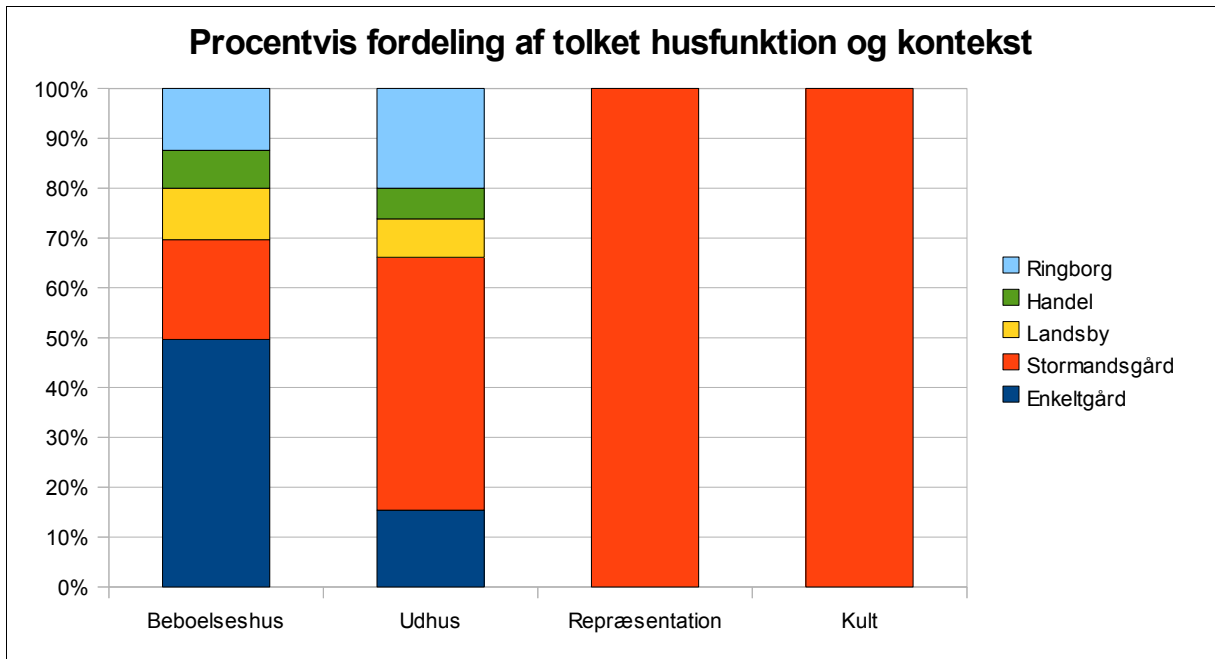


Fig. 23: Diagram over procentvise fordeling af tolkede husfunktioner fordelt på kontekst

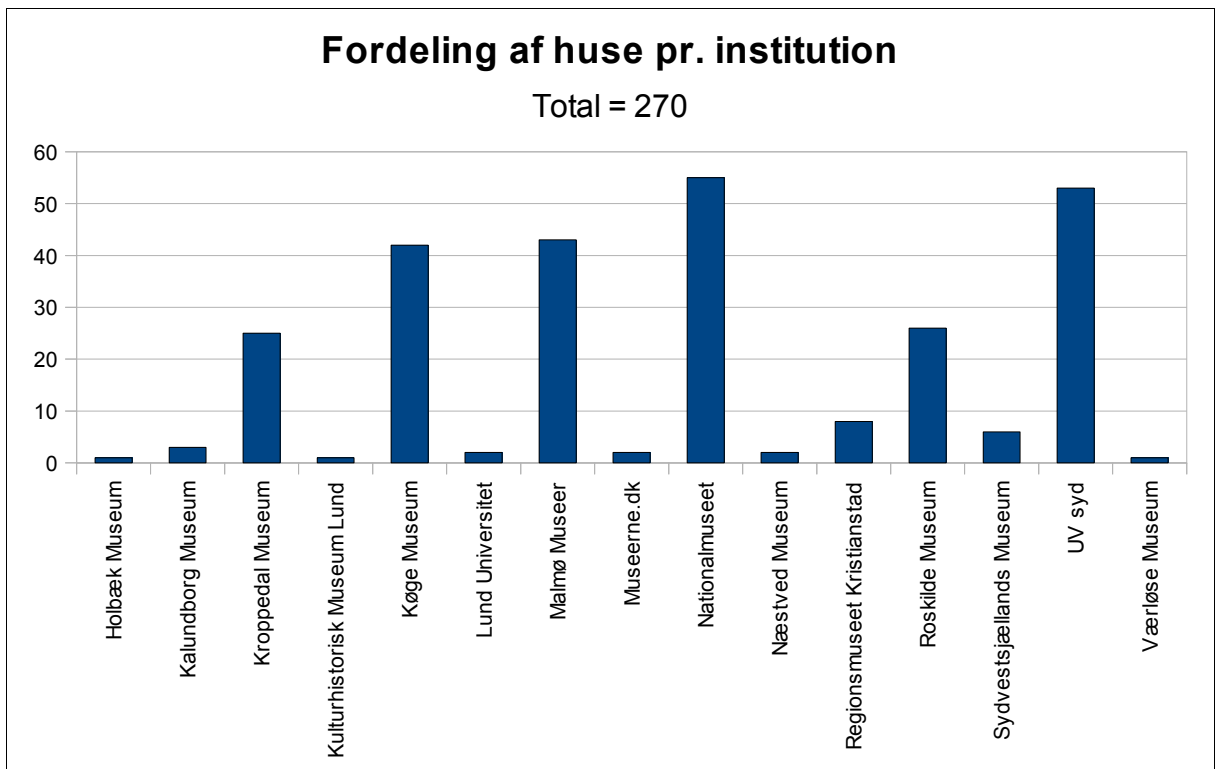
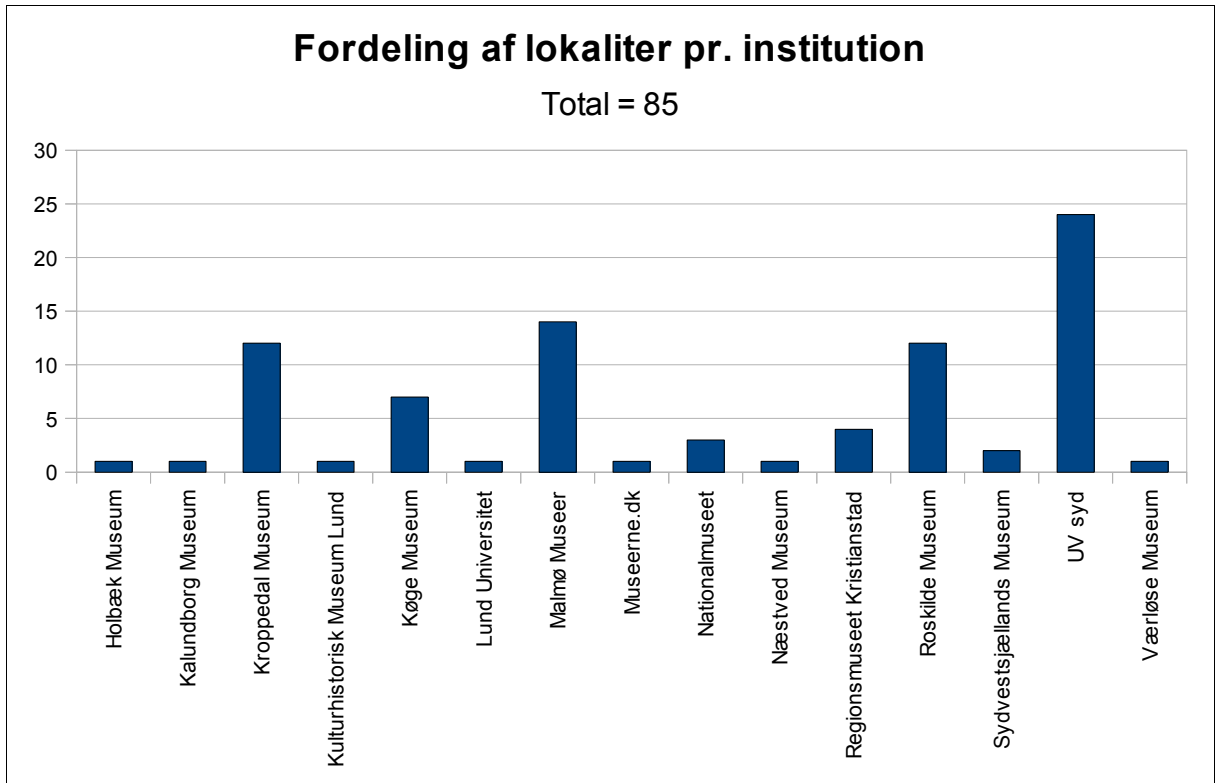
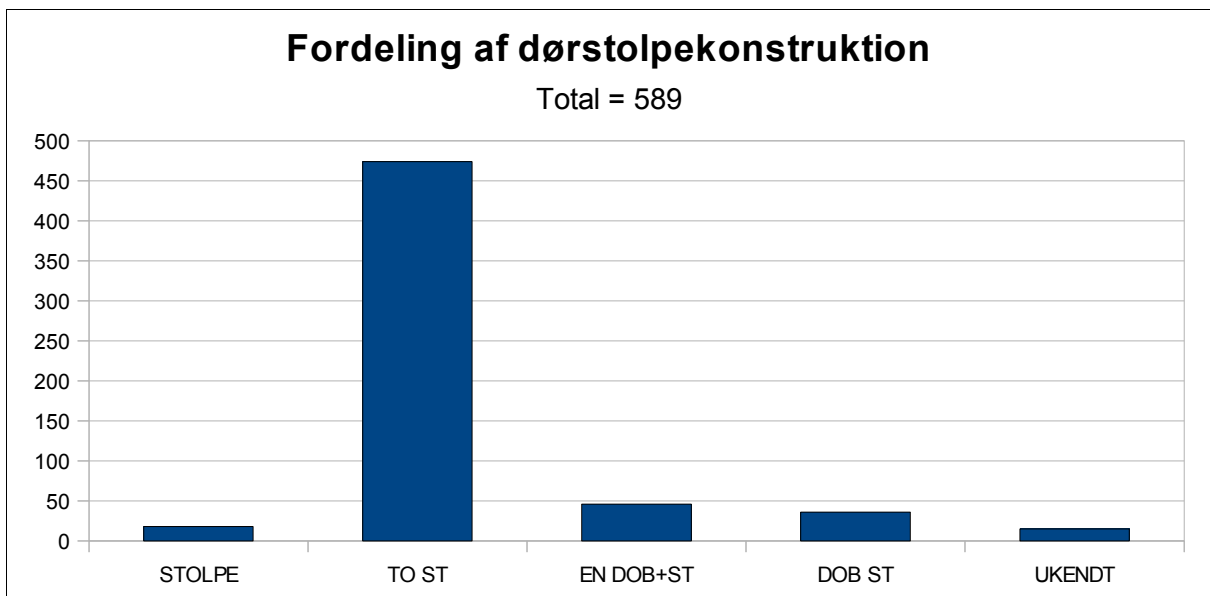


Fig. 24: Diagrammer over henholdsvis fordelingen af lokaliteter og huse pr. institution

Procentandel af huse med bevarede dørparti ud af det total antal huse	
	Antal lokaliteter
Alle huse	21
75-99%	2
50-74%	11
25-49%	27
<25%	24

*Fig. 25: Tabel over den procentvise fordeling af hvor mange huse ud af det totale antal huse på lokaliteten, som har bevarede dørpartier*



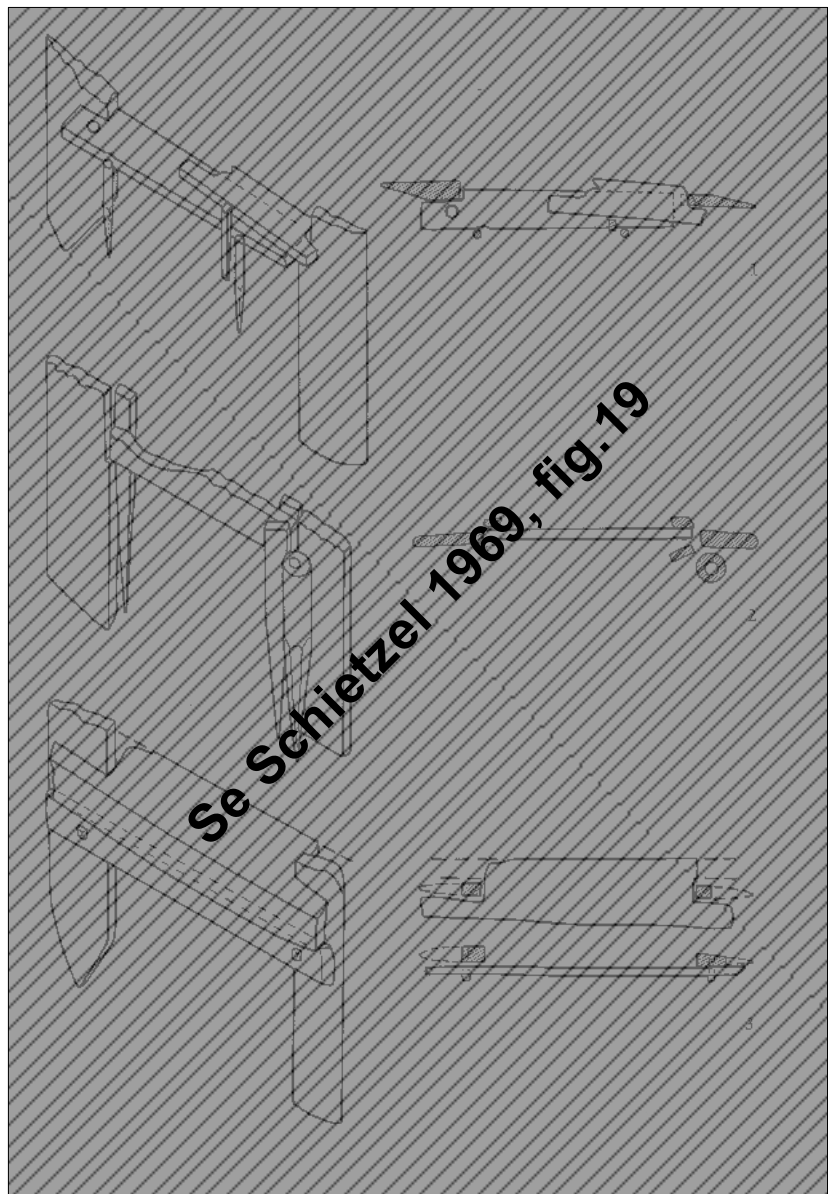
*Fig. 26: Diagram over fordeling af dørstolpekonstruktioner i det indsamlede materiale*

Mindre kraftige end væganlæg	309
Lige kraftige	51
Mere kraftige end væganlæg	186

*Fig. 27: Tabel over sammenligning mellem dybden på henholdsvis dørstolper og vægstolper*



*Fig. 28: Foto fra udgravningen af PK banken, Lund. Brolægningen i forgrunden fører op til dørpartiet. Tærsklen ses som en planke sat på højkant (efter Nilsson 1976)*



*Fig. 29: Oversigt over tærskelkonstruktioner fra Hedeby (efter Schietzel 1969)*

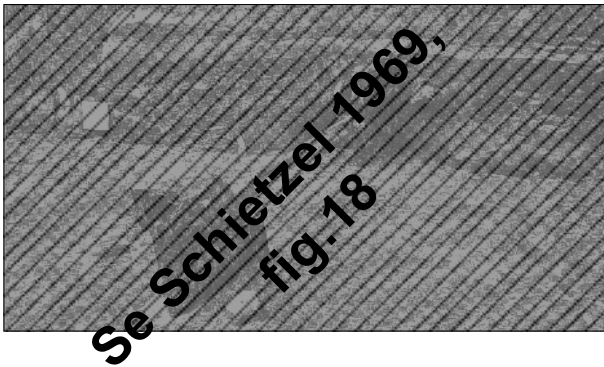


Fig.30: Foto af dørparti fra Hedeby. Bemærk pinden, der er fastgjort på dørstolperne. Den har ligget under tærskelniveau (efter Schietzel 1969)

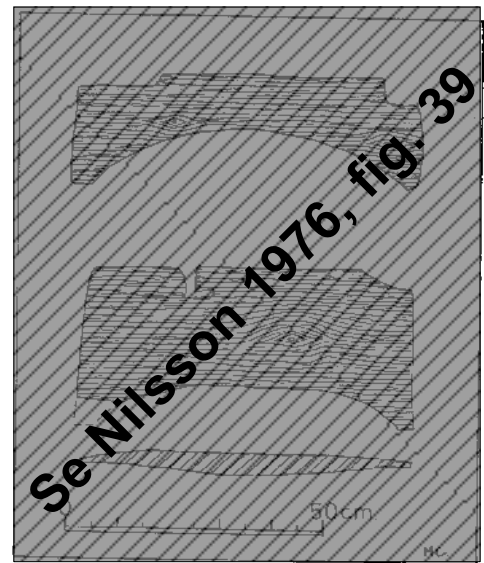


Fig. 31: Tegning af to overliggere fundet ved udgravningerne af PKbanken, Lund (efter Nilsson 1976)

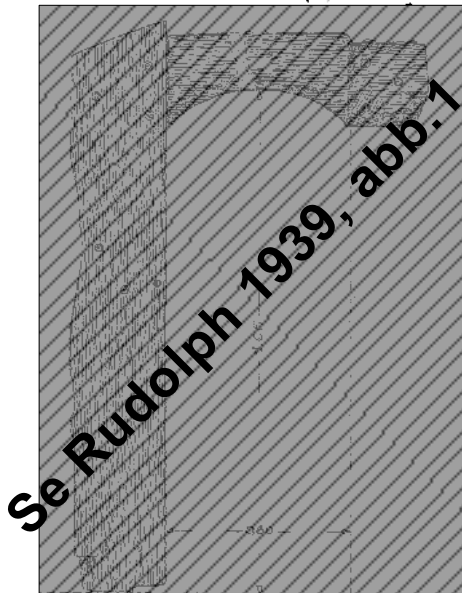


Fig. 32: Tegning af næsten komplet dør ramme fundet i Hedeby (efter Rudolph 1939)

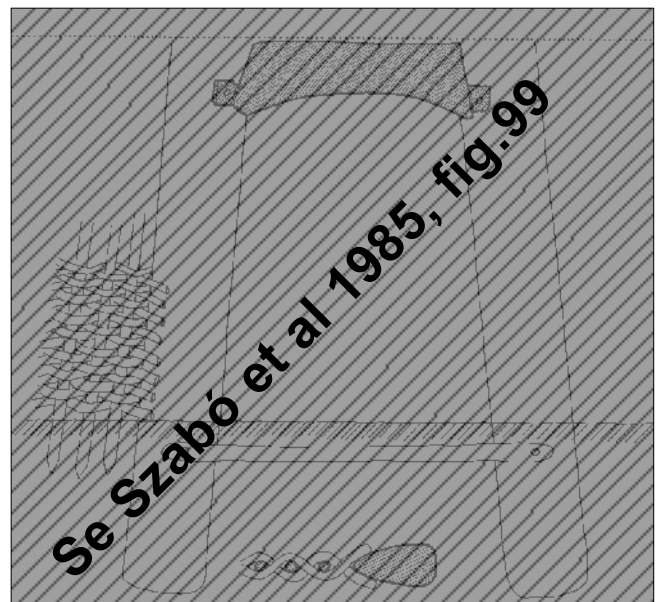
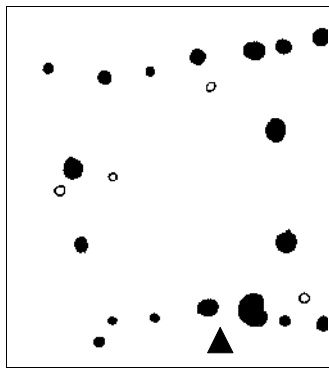
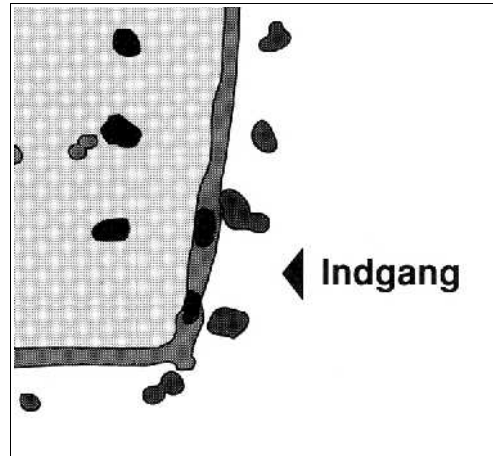


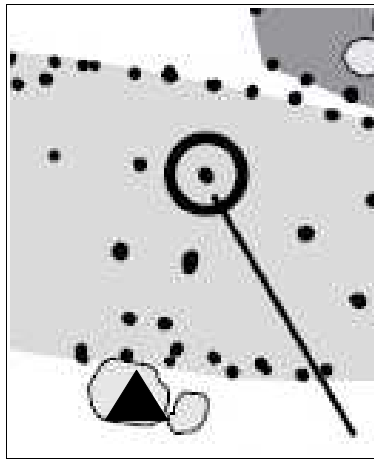
Fig. 33: Rekonstruktionstegning af dør ramme fra Elisenhof ud fra bevaret overligger og dørstolpehuller (efter Szabó et al. 1985)



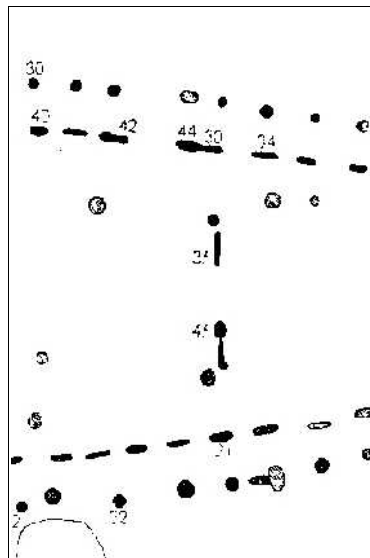
Sletten (020108-23-2) (efter Beck et al. 2005) - eksempel på dørpartikonstruktion af type 2



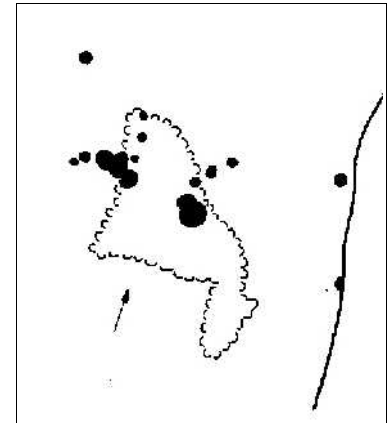
Mysselhøjgård Hus IV (efter Christensen 1991) - eksempel på dørpartikonstruktion af type 5



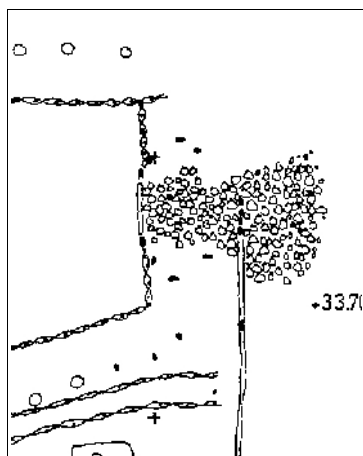
Västervång Hus 6 (1287-1380-42-6) (efter Carlie 2006 upubl.) - eksempel på dørpartikonstruktion af type 8



Trelleborg Hus 3N (040304-8-3N) (efter Nørlund 1948) - eksempel på dørpartikonstruktion af type 12

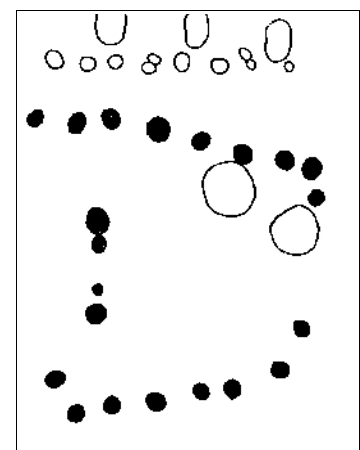


Gårdstånga 15:1 Hus 1 (1285-1238-14-1) (efter Söderberg 1995) - eksempel på dørpartikonstruktion af type 13

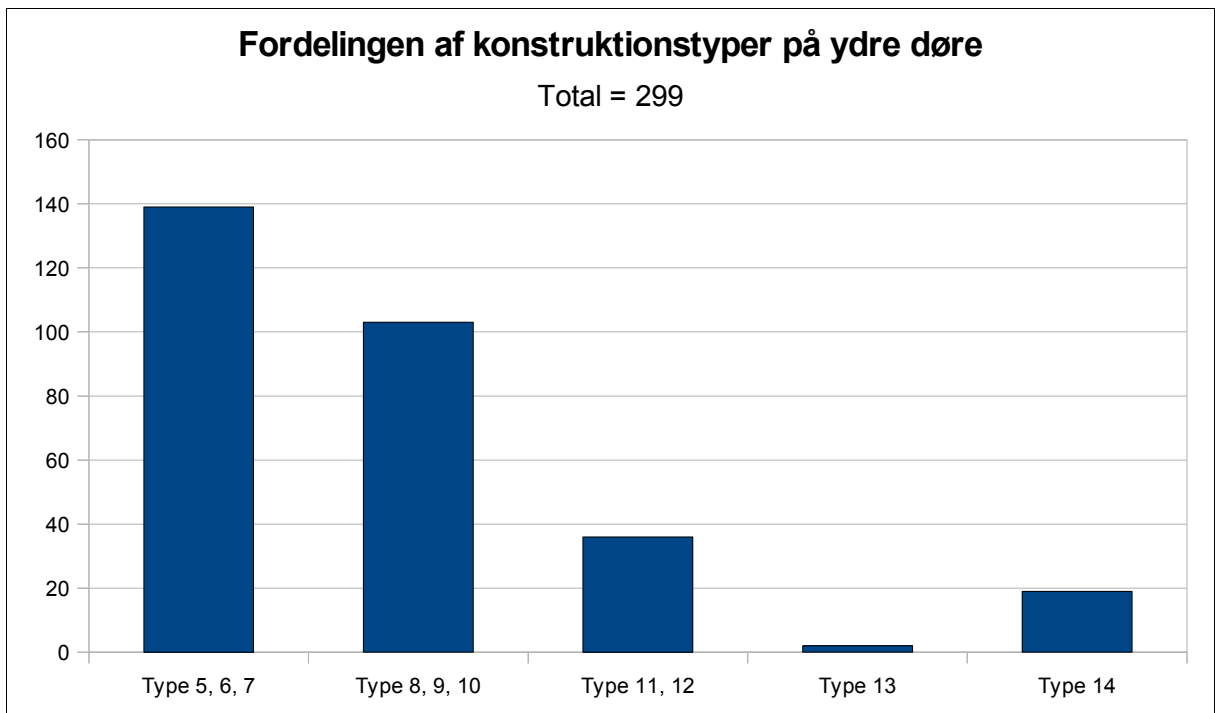


PKbanken Hus 1 (1281-1298-00-1) (efter Nilsson 1976) - eksempel på dørpartikonstruktion af type 14

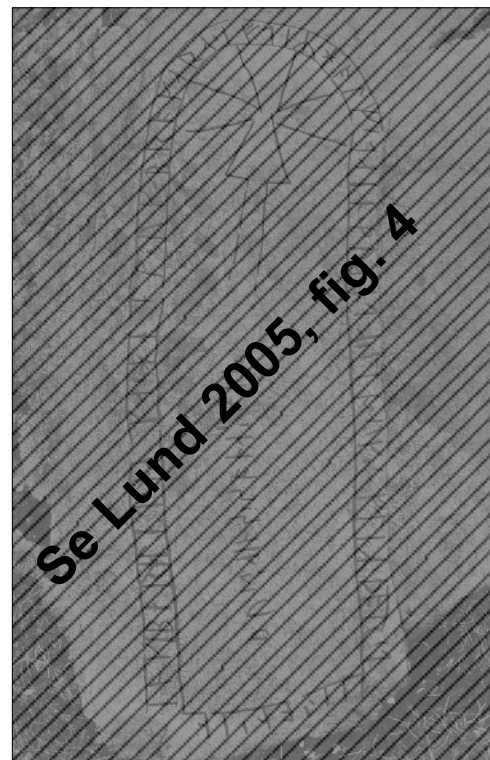
Fig. 34: Eksempler fra det indsamlede materiale på forskellige dørpartikonstruktioner



Toftgård Hus 2 (050612-74.1.02) (efter Tornbjerg 1998) - eksempel på dørpartikonstruktion af type 15



*Fig. 35: Diagram over fordeling af dørpartikonstruktioner (ydre døre) med yderligere markering.*



*Fig. 36: Hagby-stenen med runeindskrift, der gengiver en dørramme (efter Lund 2005)*

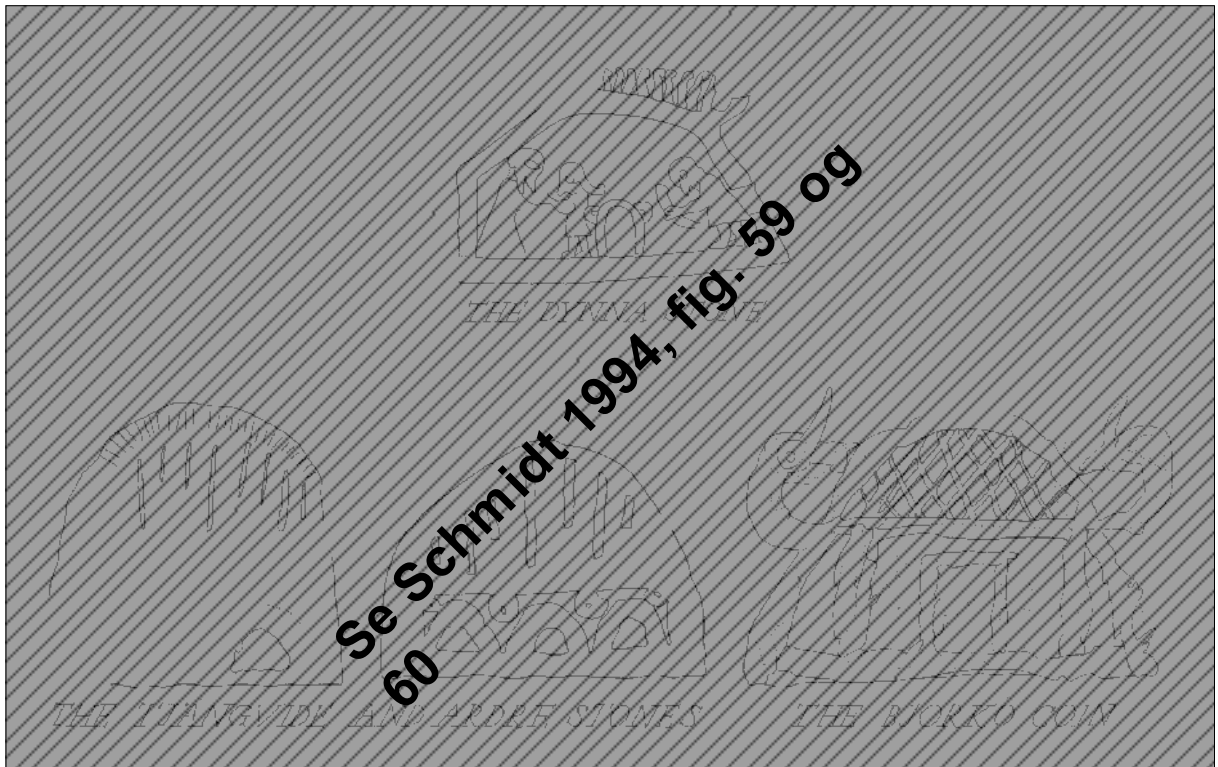


Fig. 36 fortsat: Eksempler på afbillede døre på henholdsvis billedsten og Hedebymønt (efter Schmidt 1994)

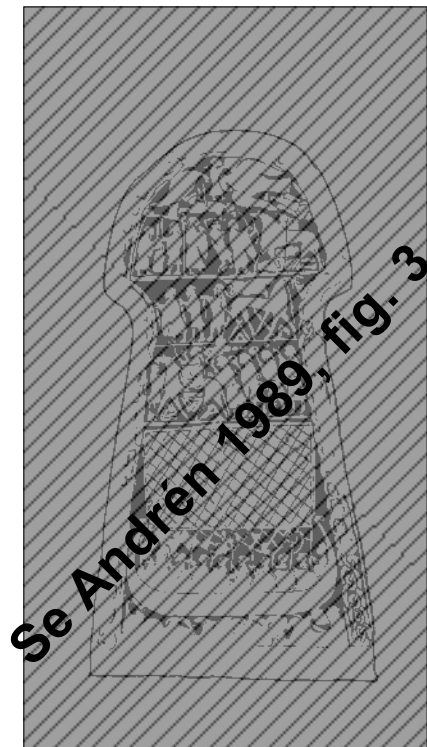


Fig. 37: Eksempel på sen billedsten, hvis form ifølge B. Arrhenius og A. Andrén skulle gengive en døråbning (efter Andrén 1989)





Fig. 38: Foto af toppen af Klinta-staven, fundet på i grav på Öland, dateret til 900-tallet (efter [www.historiska.se](http://www.historiska.se))

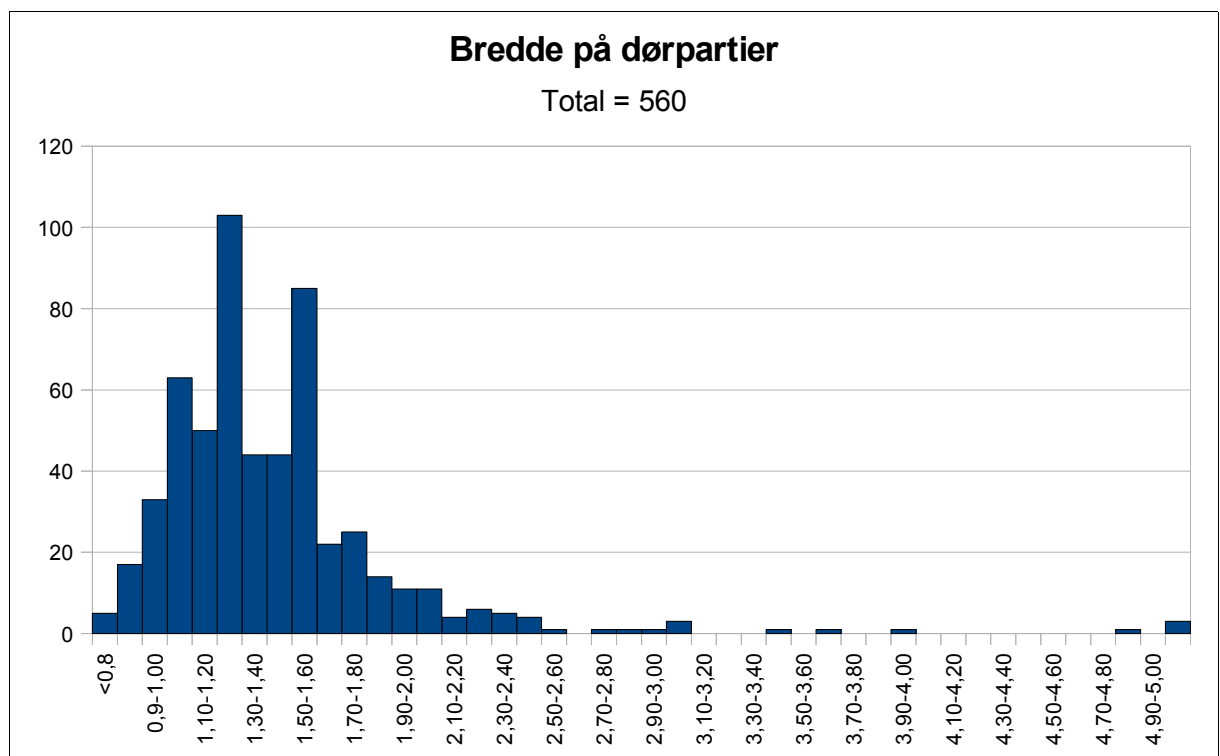
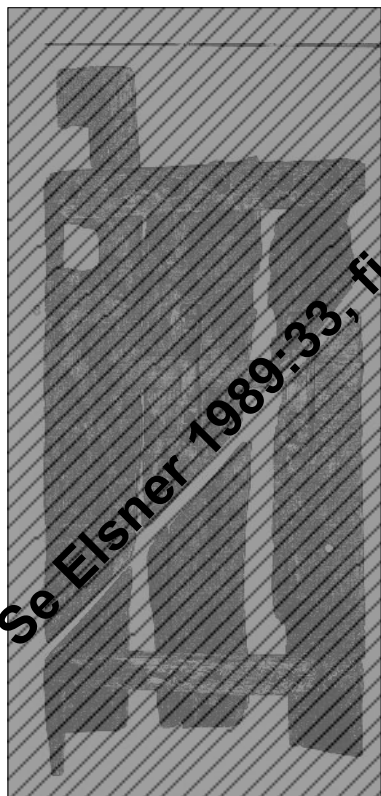
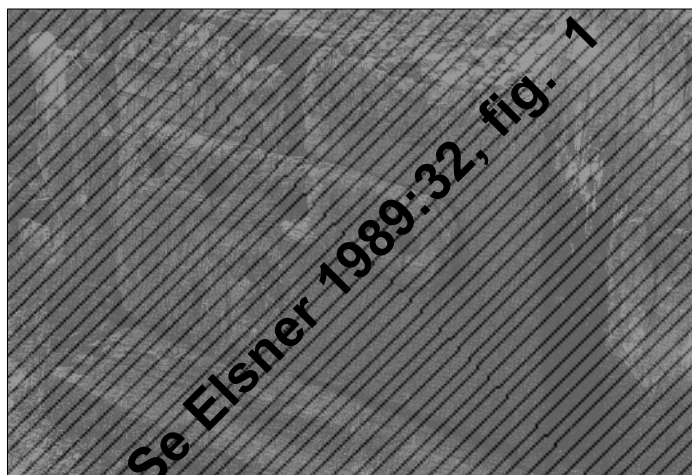


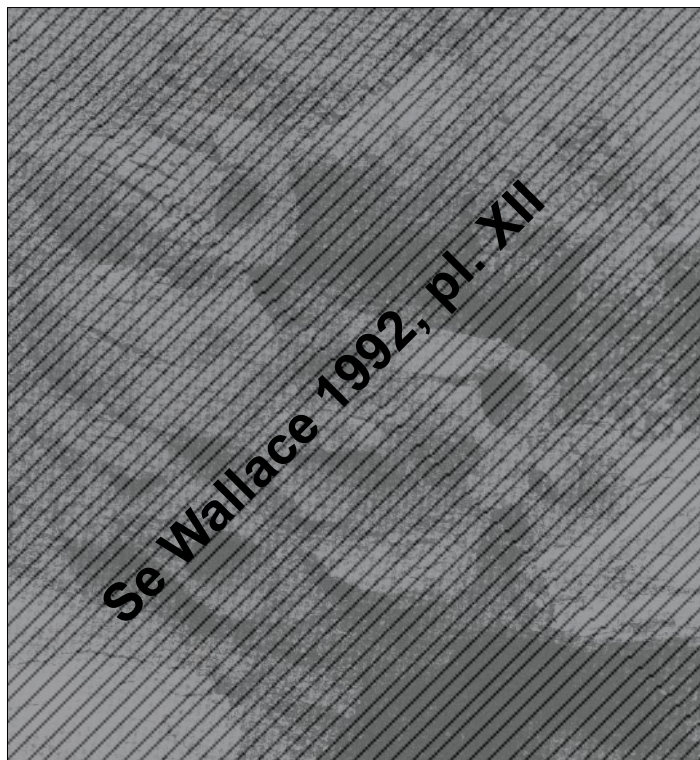
Fig. 39: Diagram over bredden på dørpartier. Kun de dørpartier, hvor det har været muligt at måle bredden er medtaget



*Fig. 40: Foto af dørføj fundet i Hedeby (efter Elsner 1989)*



*Fig. 41: Foto af det nederste af en plankedør siddende in situ, fra Hedeby (efter Elsner 1989)*



*Fig. 42: Foto af bundt af udskiftede tappæle ved døråbning, Dublin (efter Wallace 1992)*



*Fig. 43: Foto af dørring, fundet i tagbærende stolpehul i Hus 2, St. Uppåkra 8:3 (1230-1385-5-2) (efter Ödman 2003)*



*Fig. 44: Tegning af træhåndtag, fundet på Elisenhof (efter Szabó et al. 1985)*



Fig. 45: Foto af nordportalen på Urnes stavkirke (efter wikipedia.org)

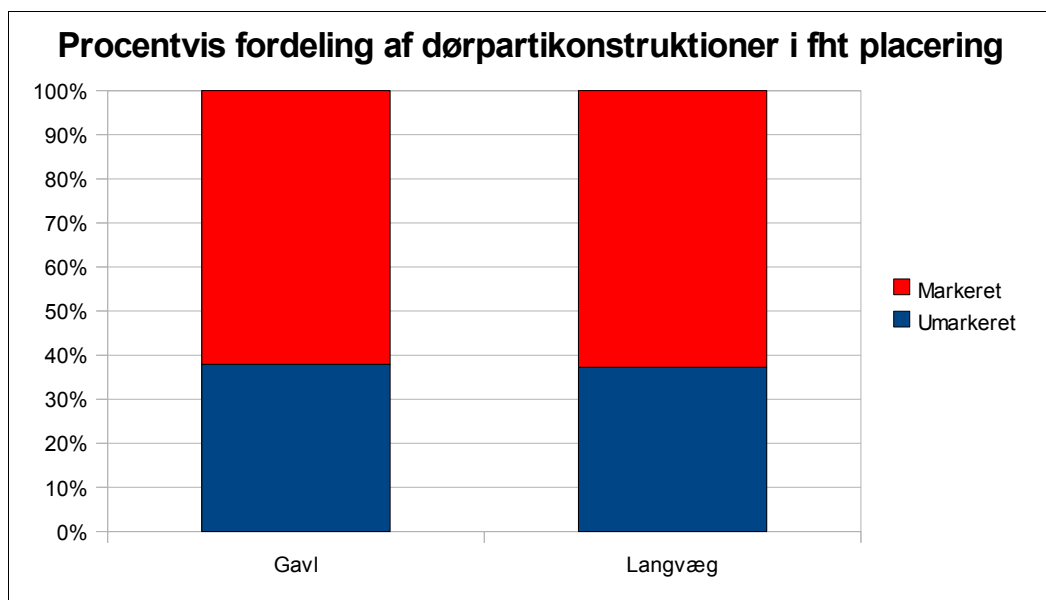


Fig. 46: Diagram over den procentvise fordeling af henholdsvis markerede og umarkerede dørpartier i forhold til placering af dørparti. Dørpartier hvis konstruktion eller placering ikke kunne bestemmes er ikke medtaget

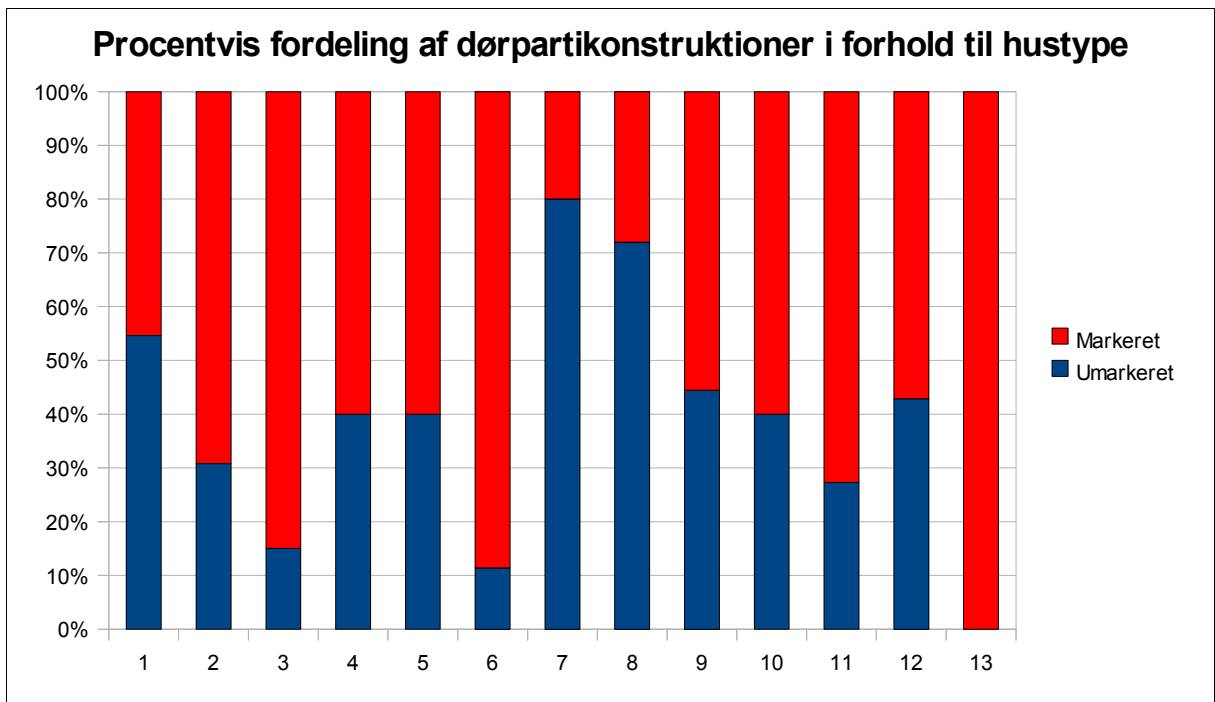


Fig. 47: Diagram over den procentvise fordeling af henholdsvis markerede og umarkerede dørpartikonstruktioner i forhold til hustype. Dørpartier hvis konstruktion eller hustype ikke kunne bestemmes er ikke medtaget

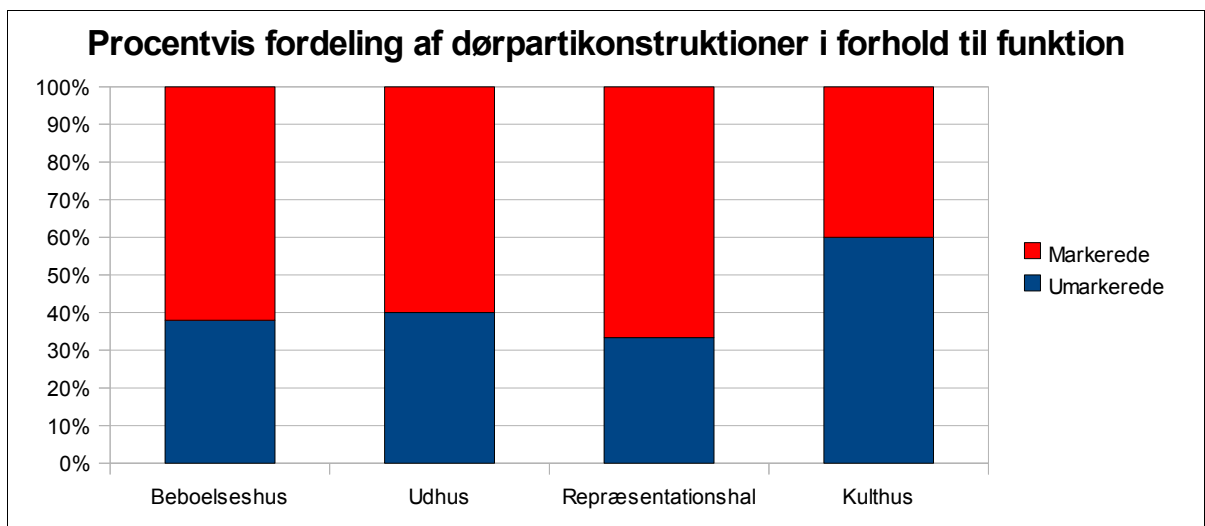


Fig. 48: Diagram over den procentvise fordeling af henholdsvis markerede og umarkerede dørpartikonstruktioner i forhold til funktion. Dørpartier hvis konstruktion eller funktion ikke kunne bestemmes er ikke medtaget

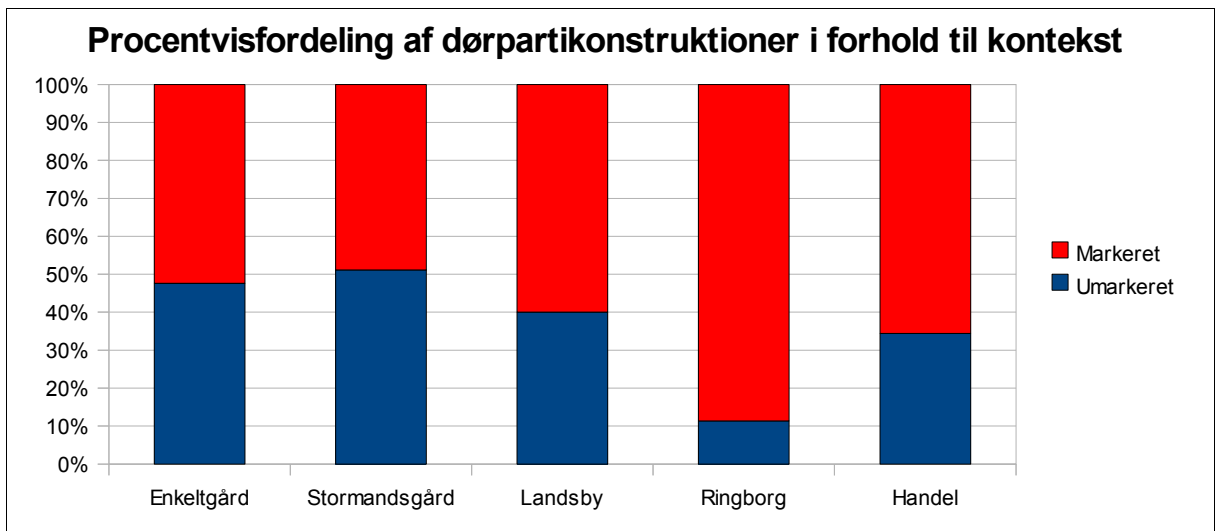


Fig. 49: Diagram over den procentvise fordeling af henholdsvis markerede og umarkerede dørpartikonstruktioner i forhold til kontekst. Dørpartier hvis konstruktion eller kontekst ikke kunne bestemmes er ikke medtaget

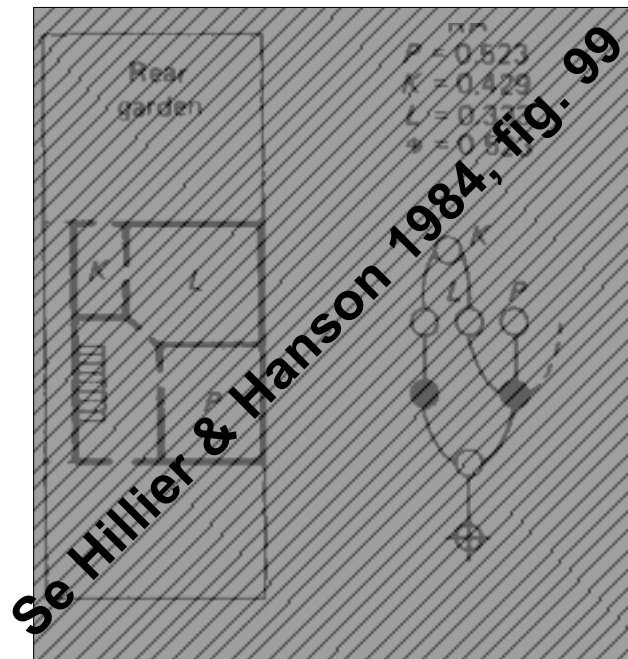


Fig. 50: Eksempel på princip i gammakort i en forholdsvis enkel moderne bygning (efter Hillier & Hanson 1984)

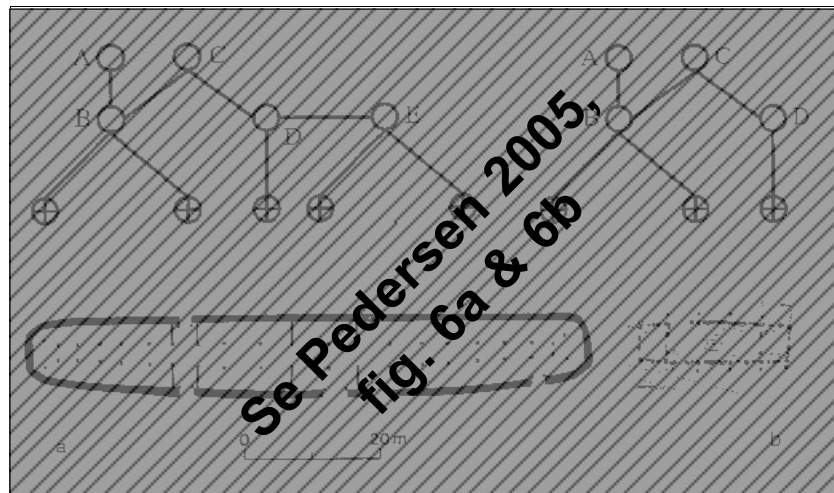


Fig. 51: Eksempel på gammakort over henholdsvis Borg (a) og hus CII på Vorbasse (b) (efter Pedersen 2005)

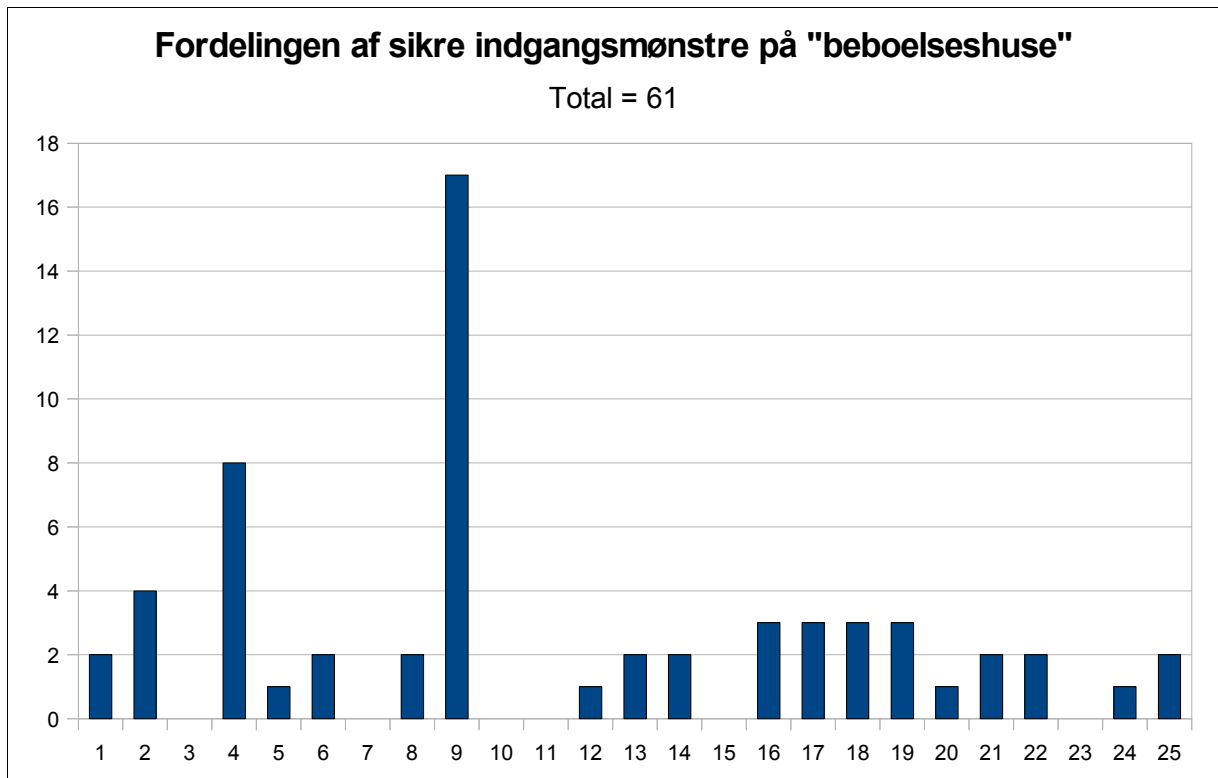


Fig. 52: Diagram over fordeling af sikre indgangsmønstre (kun på beboelseshuse)

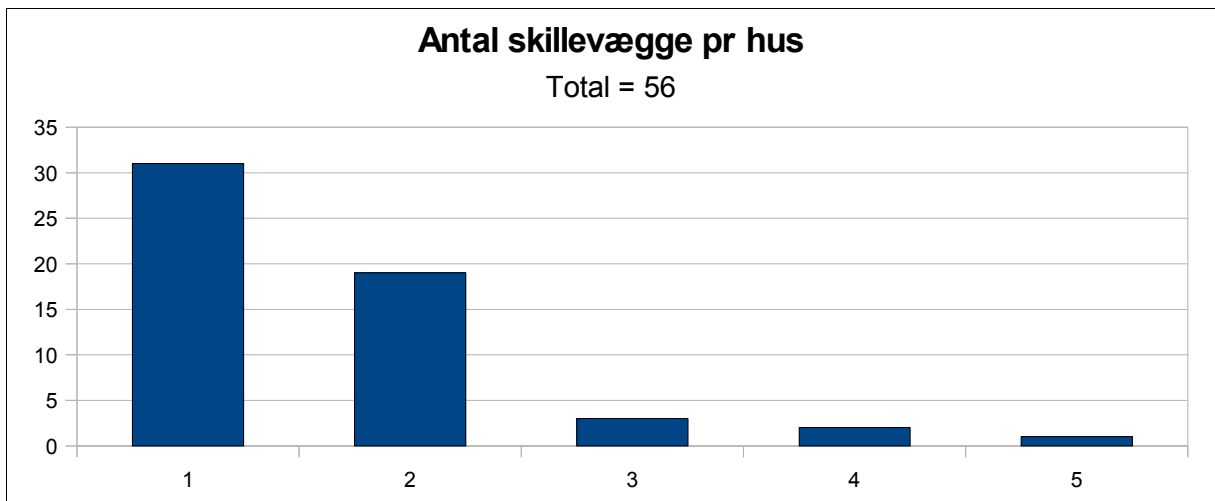


Fig. 53: Diagram over fordelingen af antal skillevægge pr. hus i det indsamlede materiale



Fig. 54: Oversigt over symboler anvendt i gammakortene



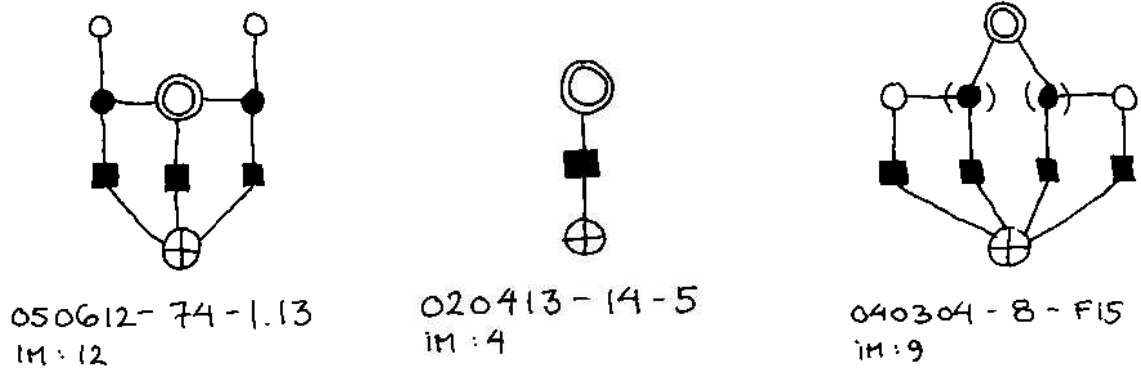


Fig. 55: Eksempler fra Bilag 3 på gammakort, hvor "halrummet" ligger mindst to trin inde

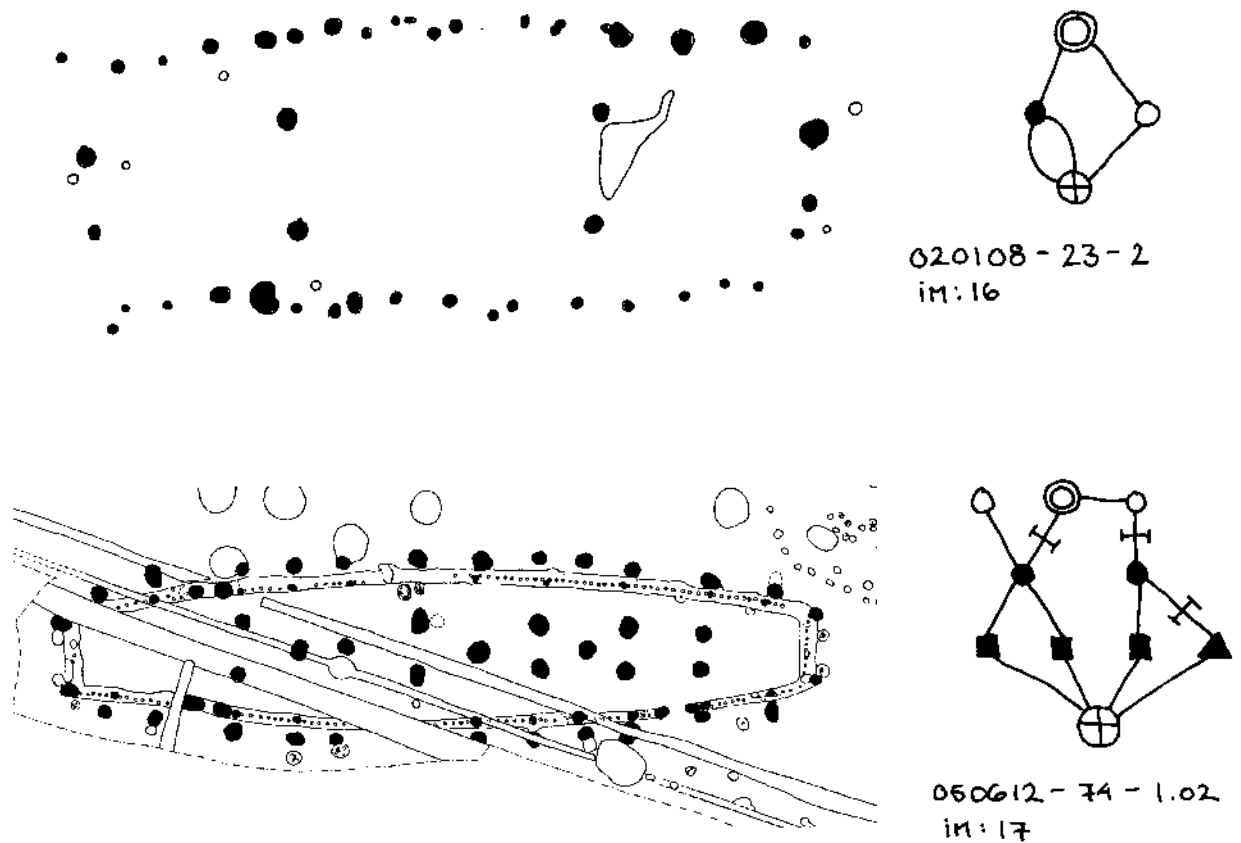
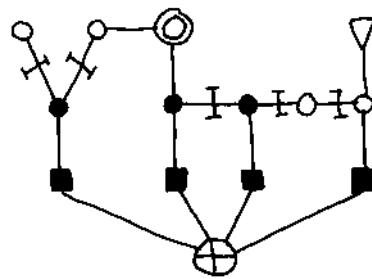
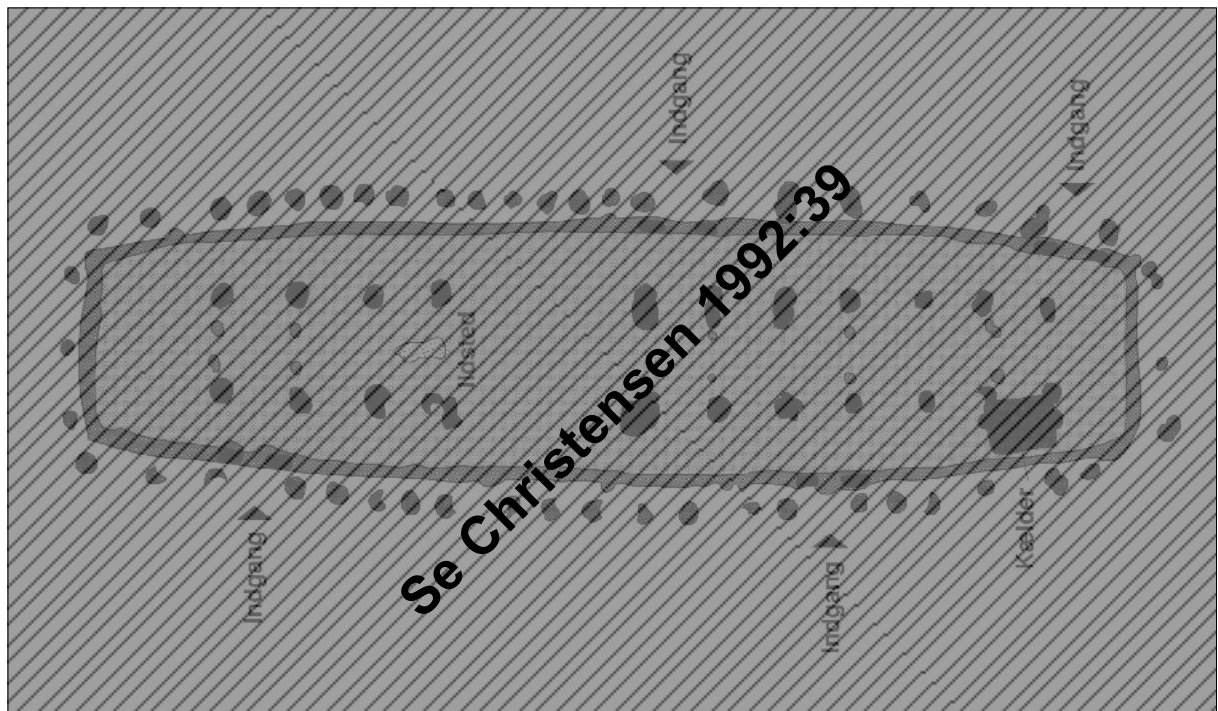


Fig. 56: Eksempel på to langhuse, som har næsten ens indgangsmønster, men samtidig meget forskellig gammakort



020601 - 115 - IV  
1M:14

Fig. 57: Grundplan og gammakort over hallen i Lejre (Mysselhøjgård Hus IV)

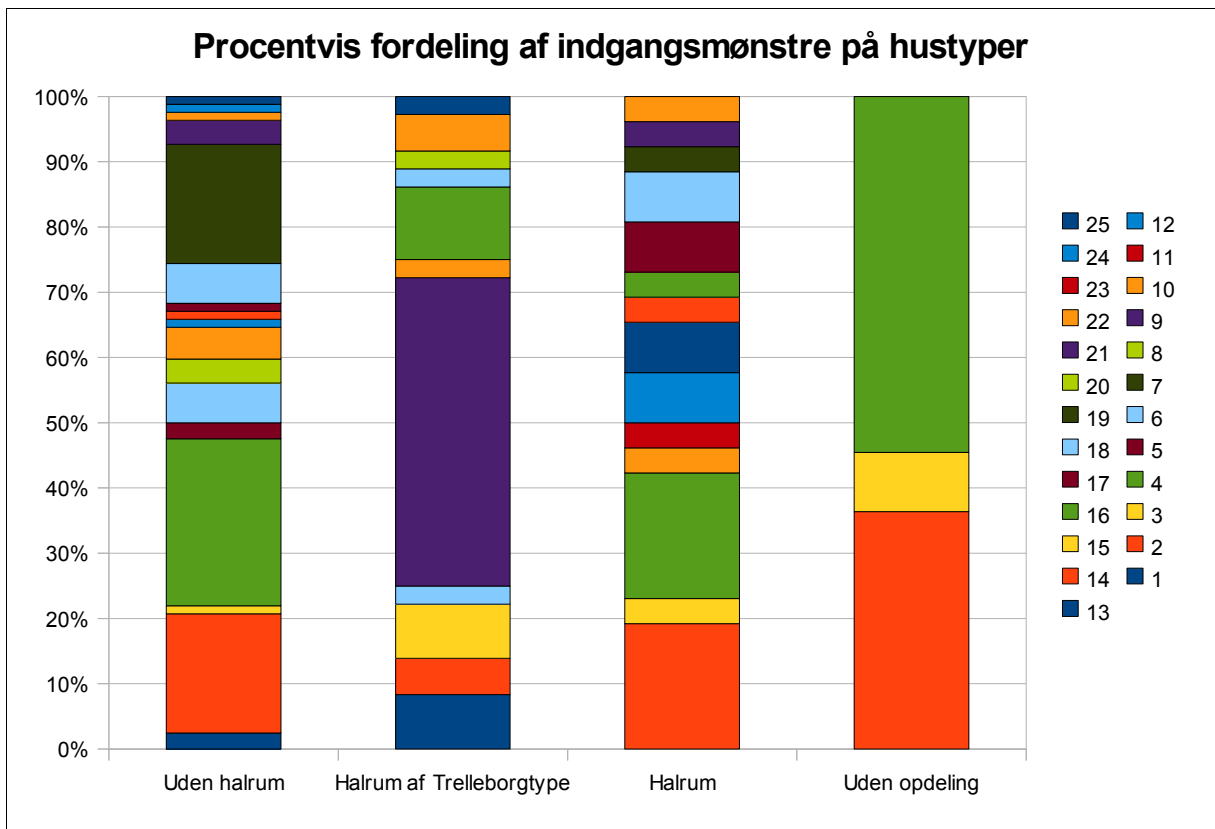


Fig. 58: Diagram over den procentvise fordeling af indgangsmønstre i forhold til hustyper

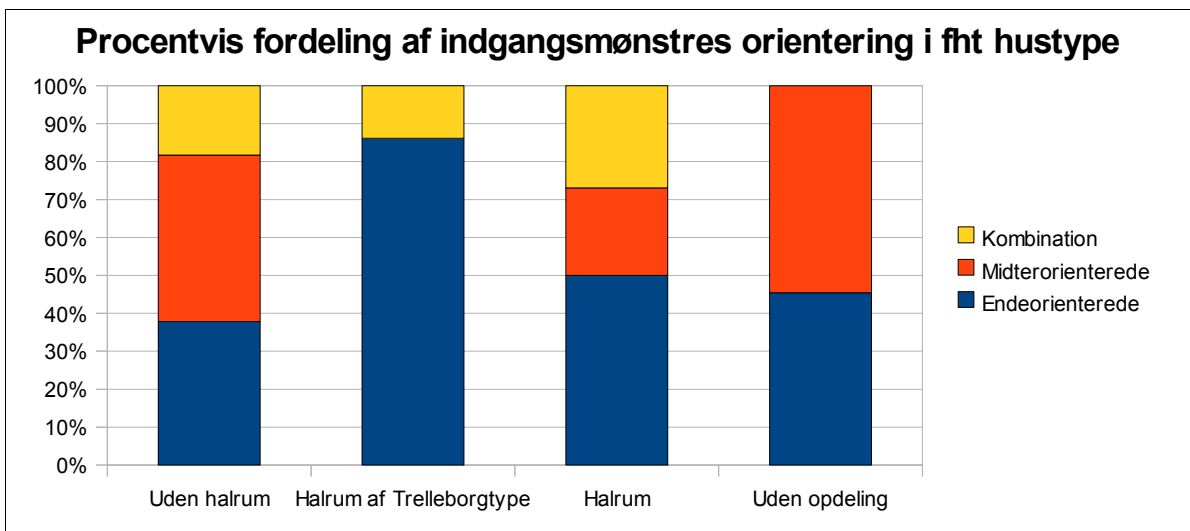
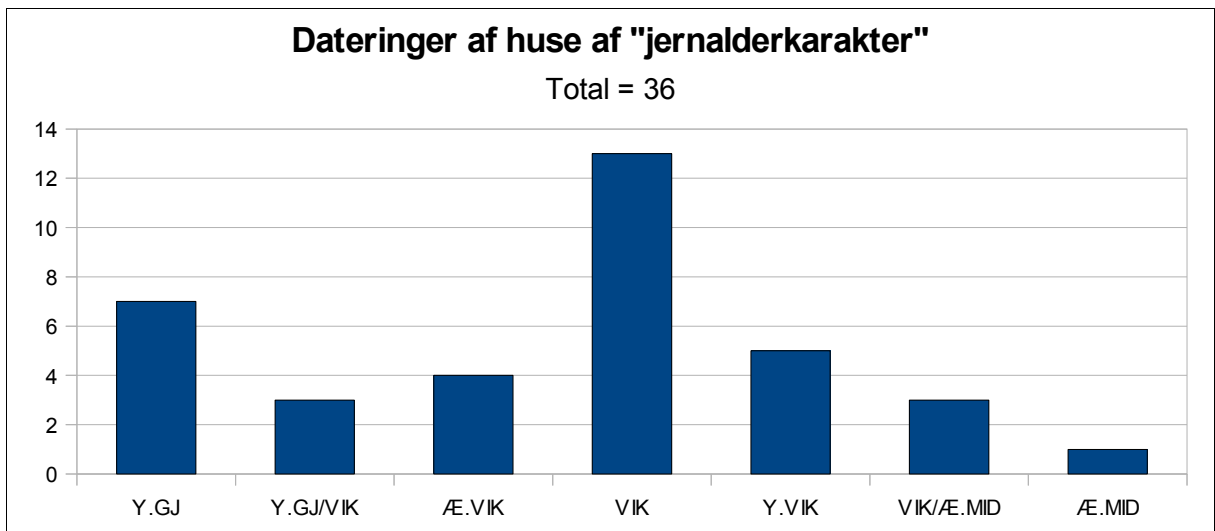


Fig. 59: Diagram over den procentvise fordeling af indgangsmønstrenes orientering (mod enden af huset eller midten) i forhold til hustype



*Fig. 60: Diagram over dateringen af huse af "jernalderkarakter"*

### Orientering af langhuse

Total = 270

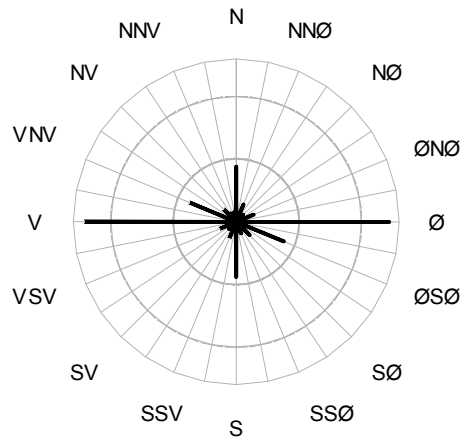
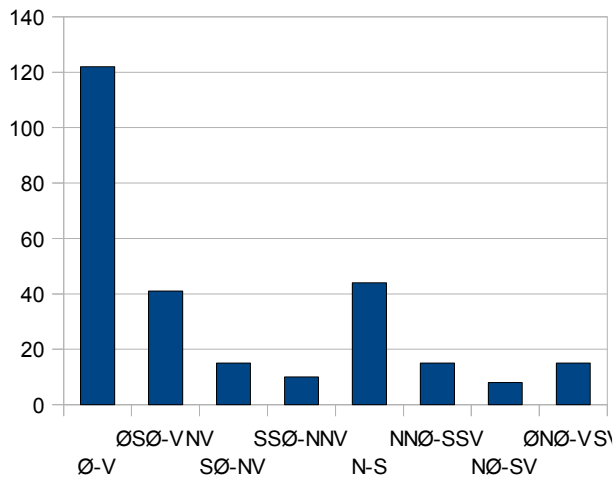


Fig. 61: Søjle- og radardiagram over husenes orientering (alle langhuse)

### Udgangsorientering

Total = 518

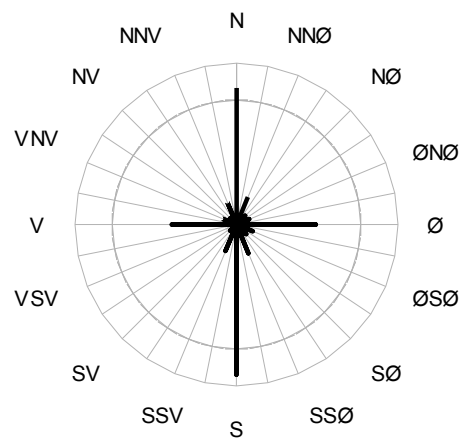
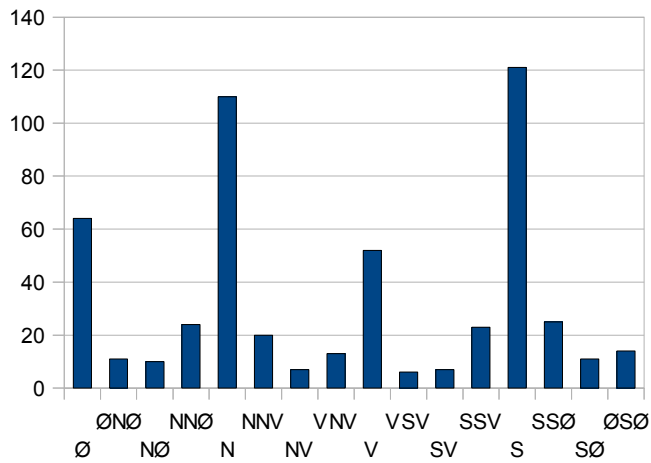
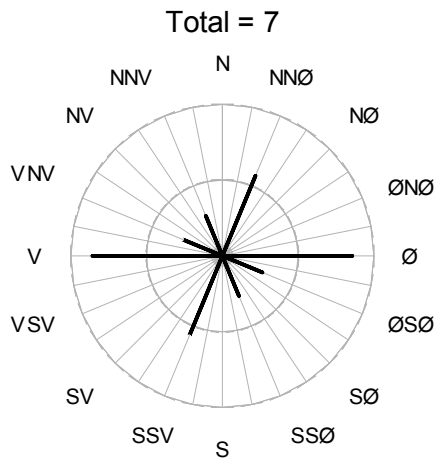
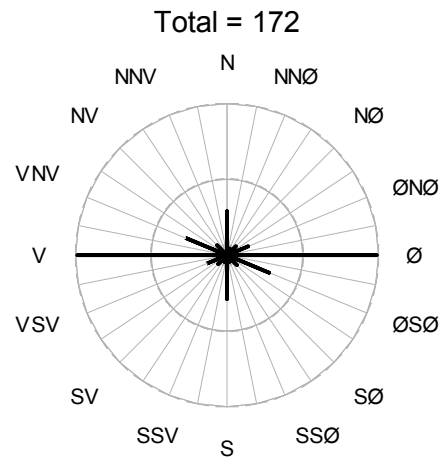


Fig. 62: Søjle- og radardiagram over udgangenes orientering (alle ydre døre)

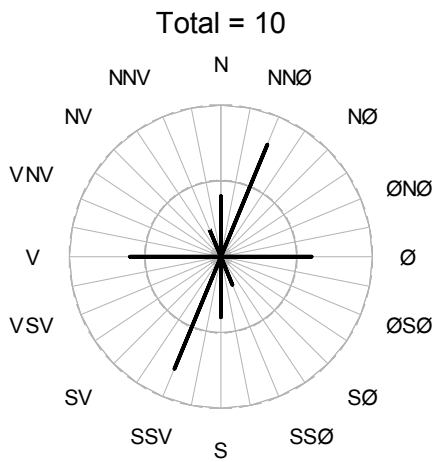
### Repræsentationshallernes orientering



### Beboelseshusenes orientering



### Kulthusenes orientering



### Udhusenes orientering

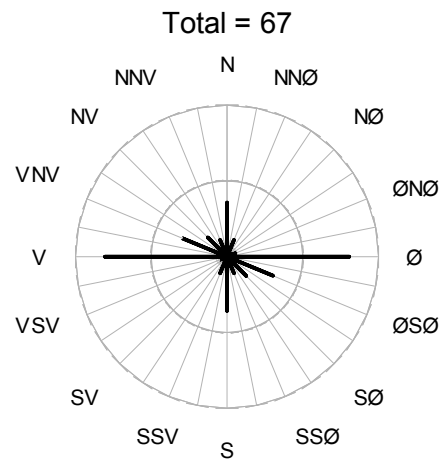
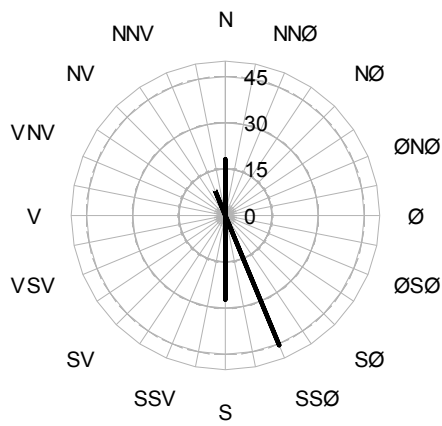
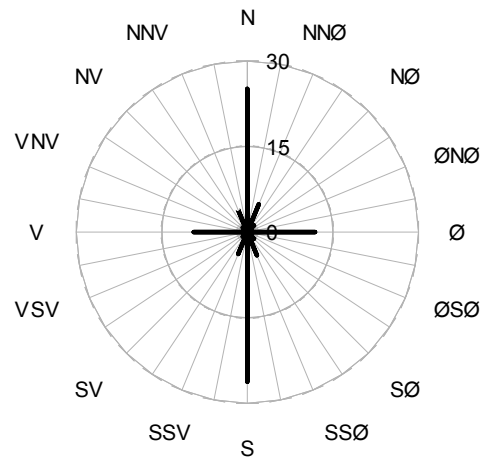


Fig. 63: Procentvis fordeling af husorientering fordelt på husfunktion

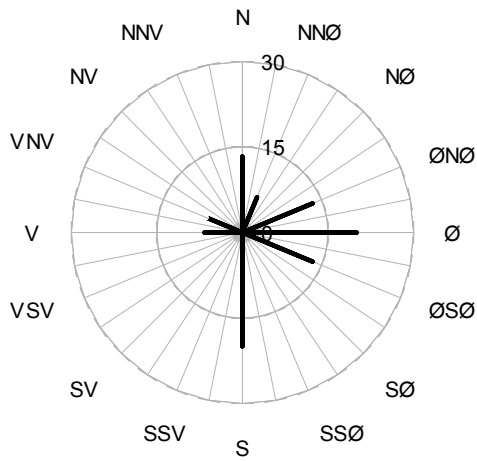
Repræsentationshallernes  
udgangsorientering



Beboelseshusenes udgangsorientering



Kulthusenes udgangsorientering



Udhusenes udgangsorientering

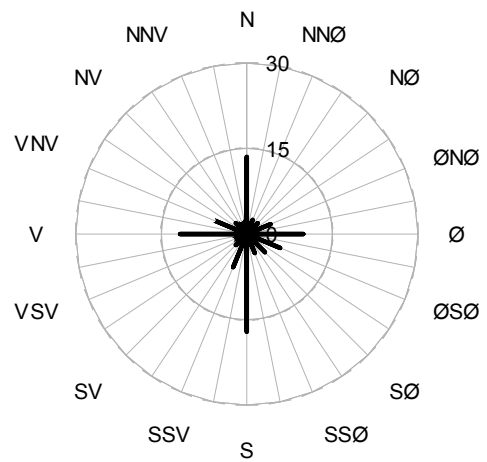


Fig. 64: Procentvis fordeling af udgangsorientering fordelt på husfunktion. Bemærk at skalaen for repræsentationshaller er større end de øvrige

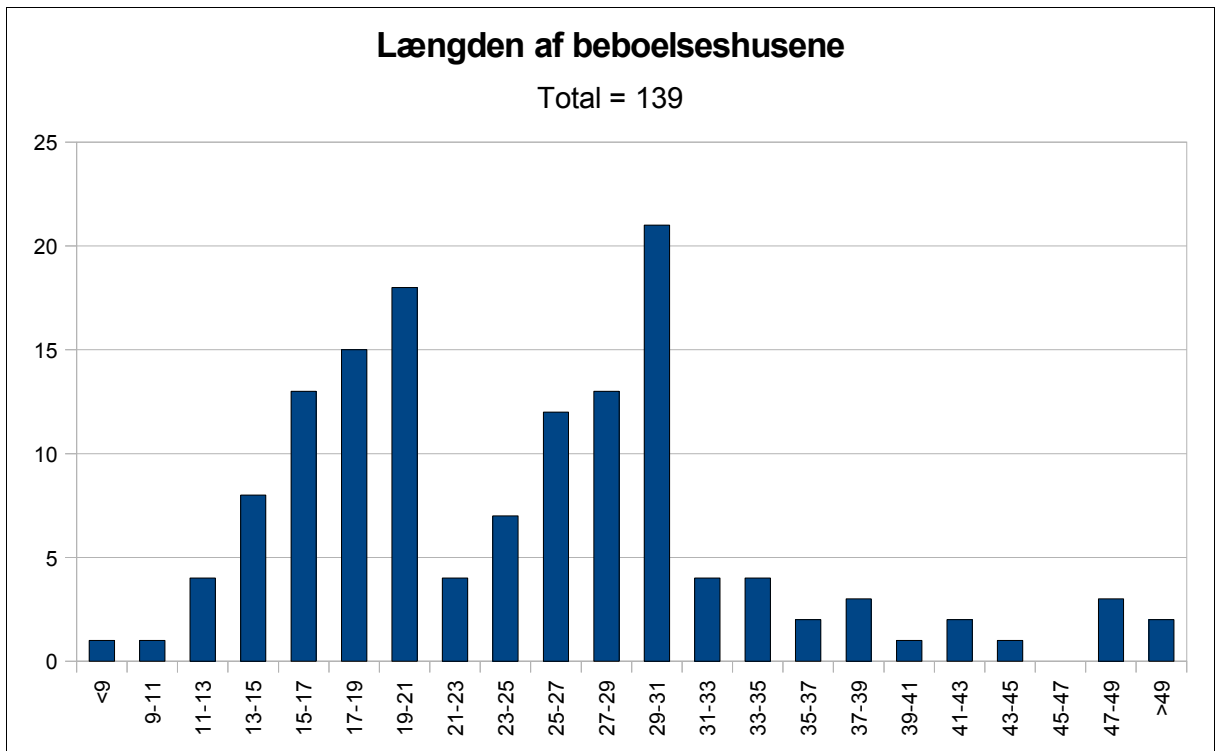


Fig. 65: Diagram over beboelseshusenes længde. De huse hvor længden ikke kunne fastslås er ikke medtaget

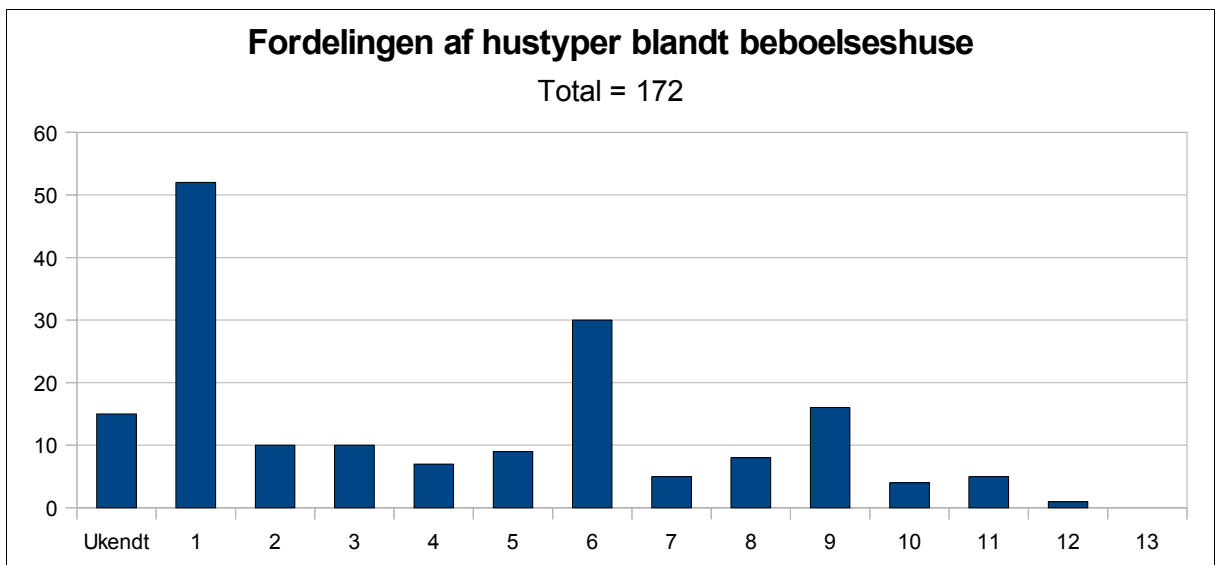


Fig. 66: Diagram over fordelingen af hustyper blandt beboelseshusene



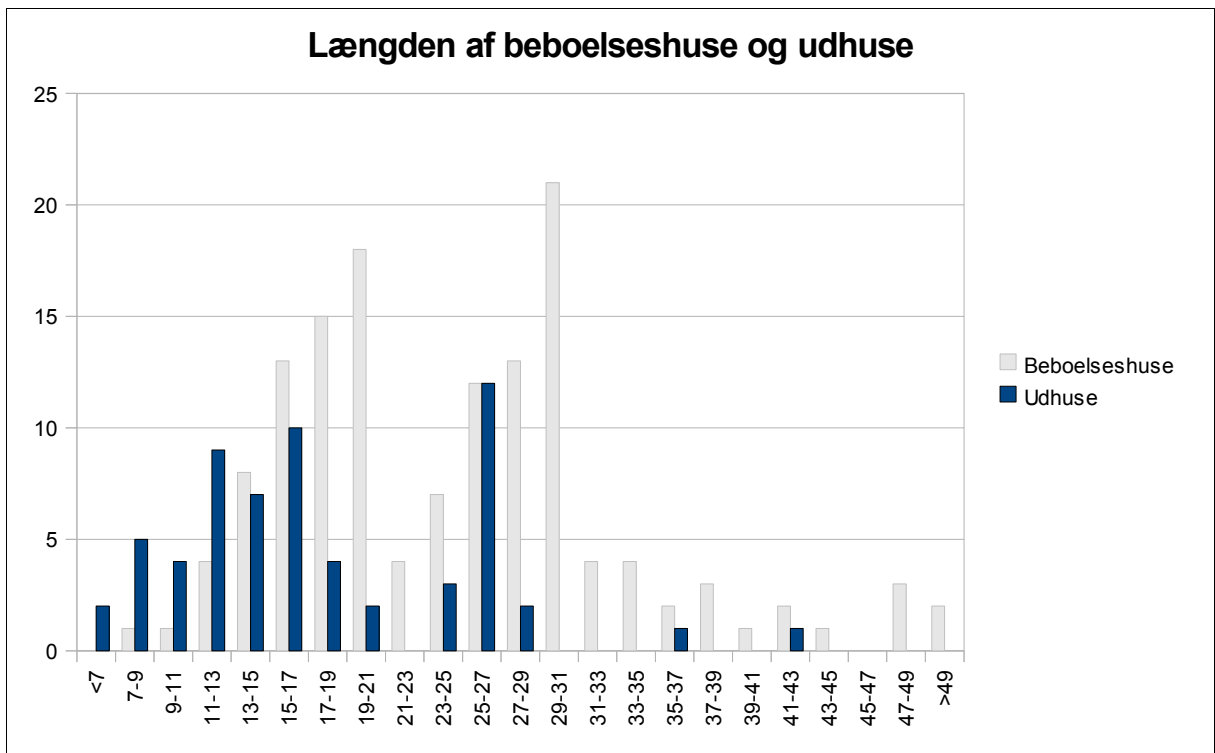


Fig. 67: Sammenlignende diagram over huslængden af henholdsvis udhuse og beboelseshuse

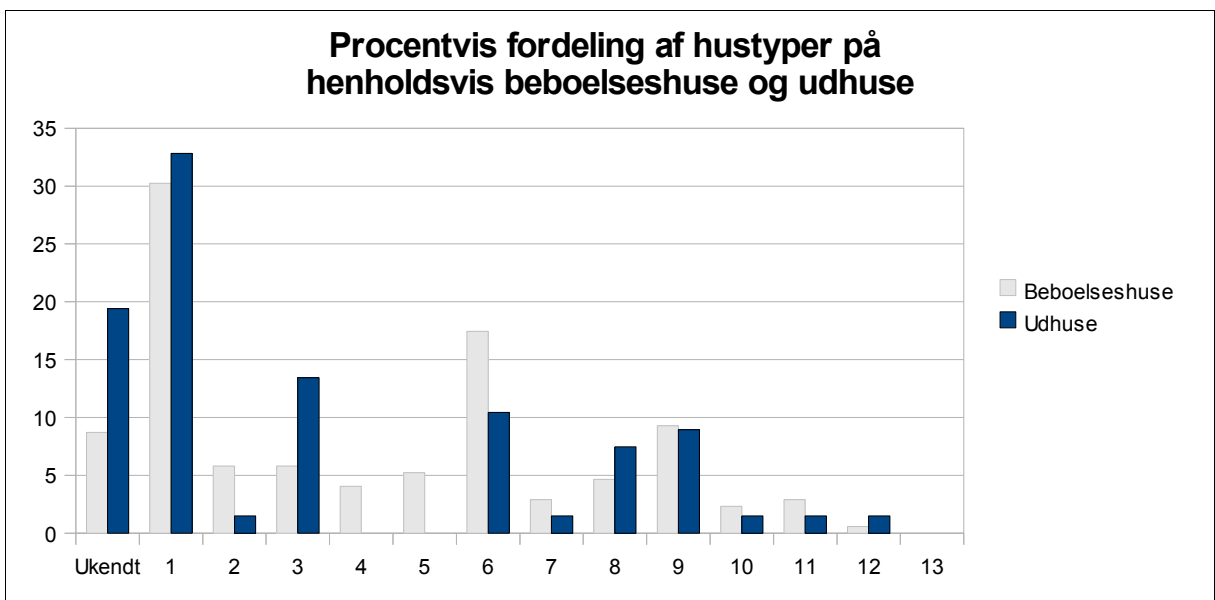


Fig. 68: Sammenlignende diagram over den procentvis fordeling af hustyper for henholdsvis udhuse og beboelseshuse

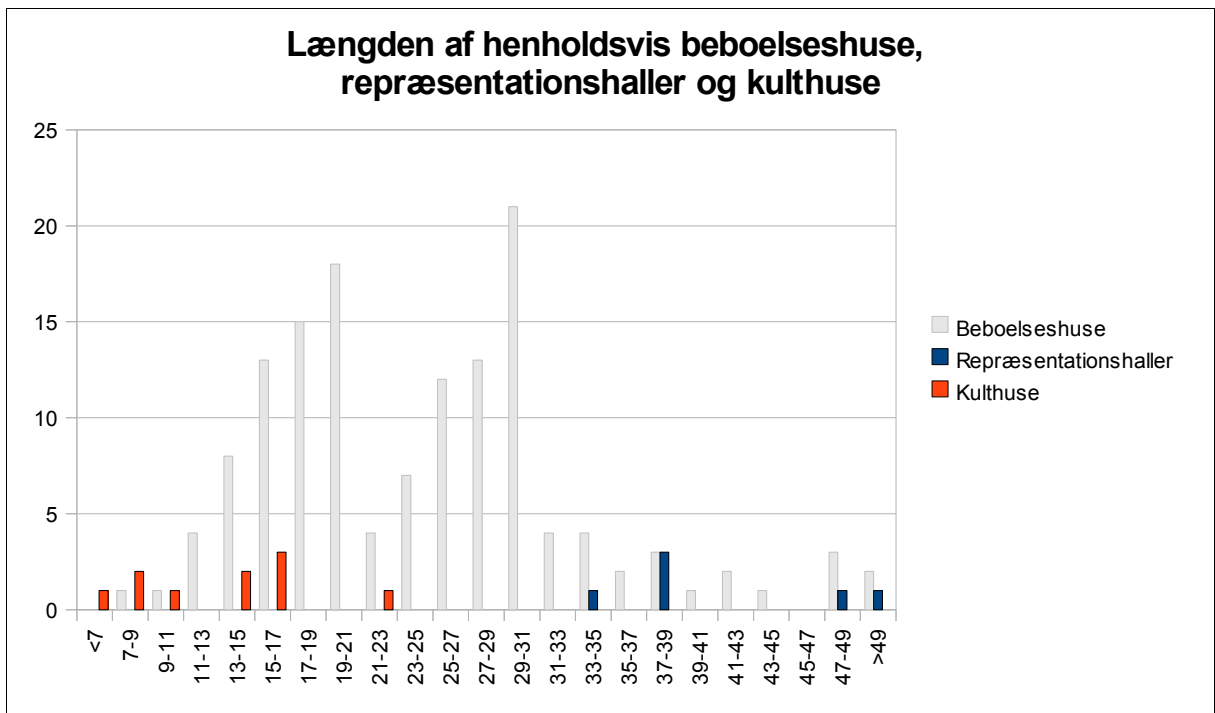


Fig. 69: Sammenlignende diagram over huslængden for henholdsvis kulthuse, repræsentationshaller og beboelseshuse

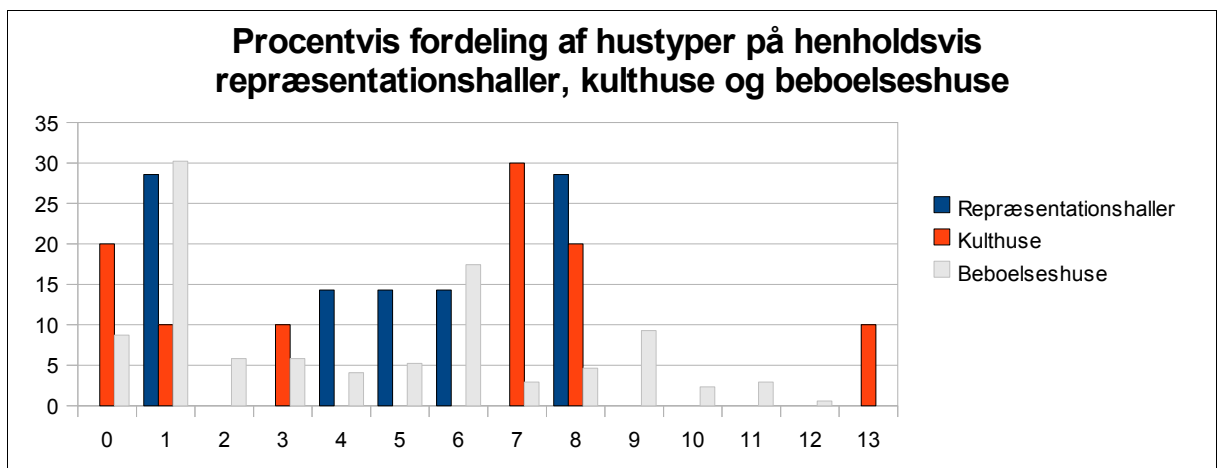
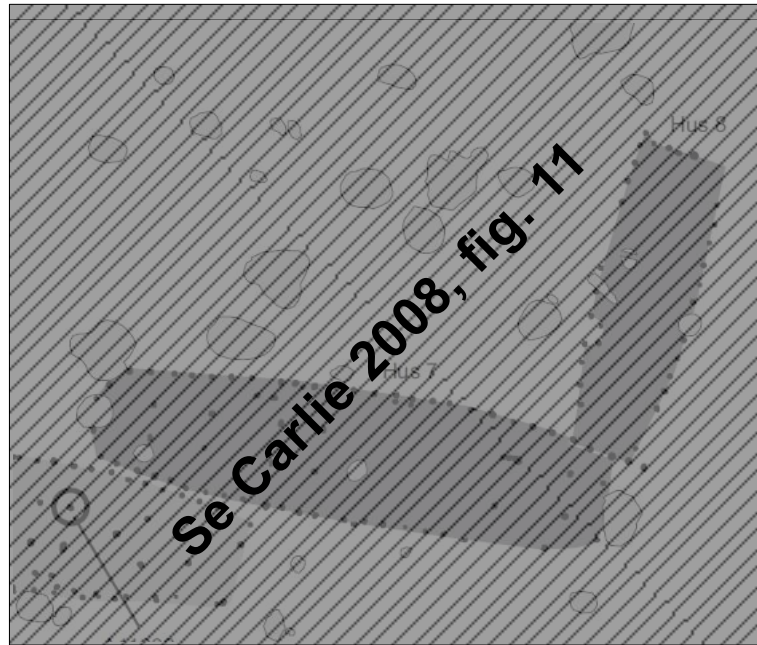


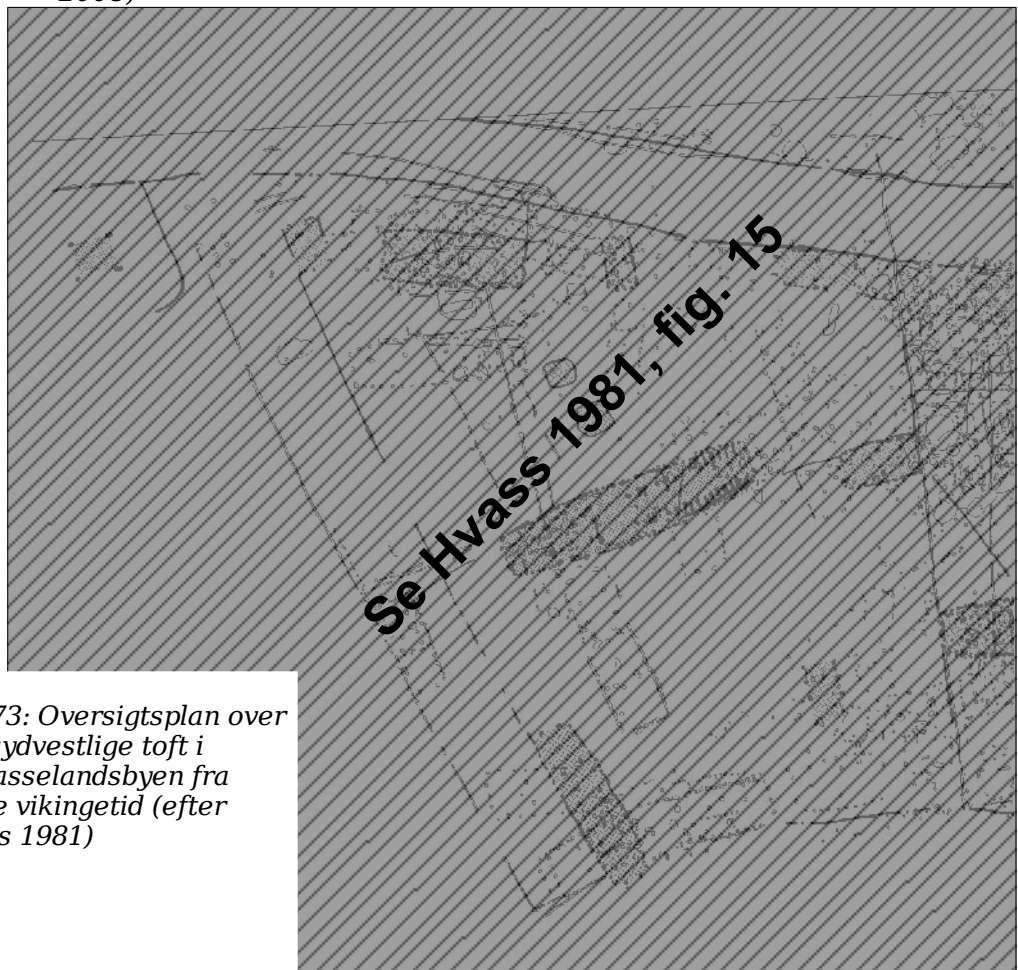
Fig. 70: Sammenlignende diagram over den procentvise fordeling af hustyper på henholdsvis repræsentationshaller, kulthuse og beboelseshuse



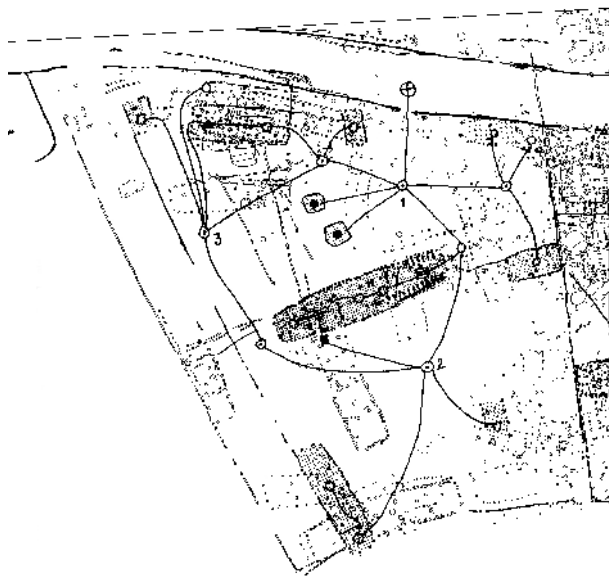
Fig. 71: Oversigtsplaner over de udgravede vikingetidslandsbyer i Vorbasse. Øverst ældre vikingetidslandsbyen med alle huse, hegn, grubehuse og brønde indtegnet (ikke faseopdelt) (efter Hvass 1988). Nederst yngre vikingetidslandsbyen (efter Ethelberg 2003)



*Fig. 72: Eksempel på tolænget gård fra det indsamlede materiale, Västervång (1287-1380-42) (efter Carlie 2008)*



*Fig. 73: Oversigtsplan over den sydvestlige toft i Vorbassellandsbyen fra ældre vikingetid (efter Hvass 1981)*



- ⊕ : UDGANGSPUNKT
- : RUM
- : DØRPARTI
- ▤ : STALD
- ▲ : RUM MED ÅBEN GAVL
- : SMEDJE
- ⊙ : GÅRDSPLADS
- ⊖ : HØVEDHUS
- : ADGANGSVEJ

Fig. 74: Den sydvestlige toft fra Vorbasselandssbyen (æ.vik) med indtegnede bevægelsesmønstre, samt oversigt over de anvendte analytiske enheder

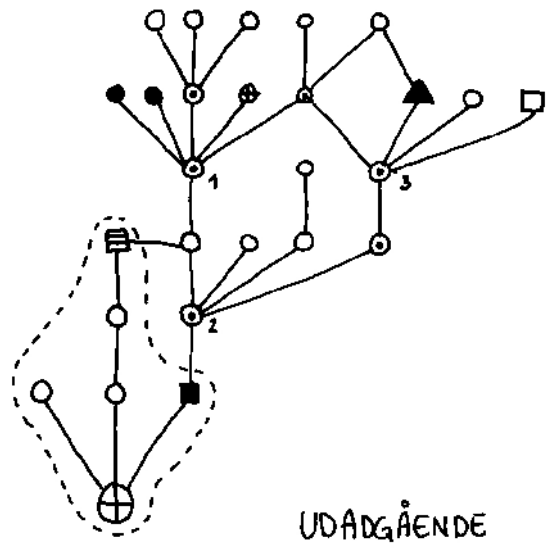


Fig. 75: Gammakort over den udadgående bevægelse på den sydvestlige toft, Vorbasselandssbyen (æ.vik)

Fig. 76: Gammakort over den indadgående bevægelse på den sydvestlige toft, Vorbasselandssbyen (æ.vik)

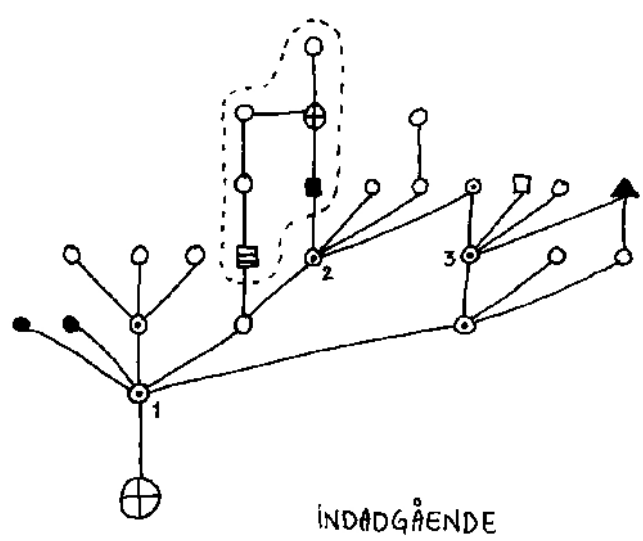




Fig. 77: Model af vikingetidens verdensbillede ("Midgård-Udgård-modellen") (efter Deleuran 1988)



*Fig. 78: Detailfoto af billedsten fra Tjängvide, Gotland. På stenen vises en modtagelsesscene. Den almindelige tolkning er, at scenen viser en modtagelse af de døde krigere i Valhal (efter [www.biopix.dk](http://www.biopix.dk))*